

## РЕФЕРАТ

Дипломний проект містить: 83 стор., 12 рис., 18 табл., 4 листа графічної частини.

Об'єкт проектування: шахта в заданих гірничо-геологічних умовах.

Ціль дипломного проектування – розробка заходів щодо відробки виймальної дільниці пл.  $\ell_6$ .

Методи проектування: аналіз літературних джерел, інженерні розрахунки, техніко-економічне порівняння варіантів.

У дипломному проекті описана геологічна будова шахтного поля, розраховані запаси вугілля, визначені виробнича потужність і режим роботи шахти. Вирішенні питання розкриття і підготовки пластів, вибору системи розробки, а також механізації очисних і підготовчих робіт. Розроблено паспорта виймальної дільниці та проведення штреку по пл.  $\ell_6$ . Зроблено розрахунки параметрів провітрювання дільниці та дільничного транспорту. В спеціальній частині вирішенні питання, пов'язані з удосконаленням очисних робіт по пл.  $\ell_6$ , небезпечному за раптовими викидами вугілля та газу.

Результати виконаної роботи рекомендуються до використання технічним, технологічним і економічним службам шахти при розробці програми розвитку гірничих робіт та складанні бізнес-планів.

ШАХТА, РОЗКРИТТЯ, СИСТЕМА РОЗРОБКИ, МЕХАНІЗАЦІЯ, ТРАНСПОРТ, ОХОРОНА ВИРОБОК, ПРОВІТРЮВАННЯ, РАПТОВІ ВИКИДИ, ЕКОНОМІЧНИЙ ЕФЕКТ.

## ЗМІСТ

	Стор.
<b>ВСТУП.....</b>	<b>6</b>
<b>1 ГЕОЛОГІЧНА ЧАСТИНА ПРОЕКТУ.....</b>	<b>7</b>
1.1 Геологія родовища.....	7
1.1.1 Загальні відомості про шахту.....	7
1.1.2 Геологічна будова шахтного поля.....	7
1.2 Границі і запаси шахтного поля.....	10
<b>2 ОСНОВНА ЧАСТИНА ПРОЕКТУ.....</b>	<b>13</b>
2.1 Розробка основних напрямків відробки пласта.....	13
2.2 Технологічні схеми ведення очисних робіт, виробнича потужність шахти і режим її роботи.....	14
2.3 Розкриття, підготовка і система розробки вугільних пластів.....	19
2.3.1 Підготовка і система розробки вугільних пластів.....	19
2.3.2 Розкриття шахтного поля.....	28
2.3.3 Капітальні гірничі виробки.....	28
2.4 Паспорта виймальної ділянки, проведення та кріплення підземних виробок.....	29
2.4.1 Паспорт виймання вугілля, кріплення і управління покрівлею в очисному вибої.....	29
2.4.2 Паспорт проведення та кріплення штреку пласта $\ell_6$ .....	38
2.4.3 Транспорт вугілля, породи, матеріалів і обладнання, перевезення людей на дільниці.....	45
2.4.4 Провірювання ділянки.....	48
2.4.5 Енергопостачання ділянки.....	57
2.5 Охорона праці.....	59
<b>3 СПЕЦІАЛЬНА ЧАСТИНА ПРОЕКТУ.....</b>	<b>61</b>
<b>ВИСНОВКИ.....</b>	<b>81</b>
<b>ПЕРЕЛІК ПОСИЛАНЬ.....</b>	<b>82</b>

## ВСТУП

Історія становлення і розвитку вугільної промисловості України красномовно показує, що саме вугілля було гарантам бурхливого розвитку економіки, тому немає потреби доводити роль і значення головного енергоносія в Україні - вугілля.

Сьогодні вугільна промисловість нашої країни переживає не кращі часи, знижені обсяги проведення гірничих виробок і обсяги видобутку вугілля, закриваються шахти, велика плинність кадрів на вугільних підприємствах. Усе це явилося наслідком економічного спаду в Україні.

Причинами цього (окрім об'єктивних – заглиблення гірничих робіт, ускладнення умов розробки пластів та ін.) з'явилися старіння шахтного фонду, зношенність устаткування, відсутність високоефективної виймкової техніки. Крім цього, до них додалося ще й незадовільне матеріально-технічне постачання (недопоставки устаткування, лісних матеріалів, металевого кріплення та інших матеріалів виробничого призначення).

Разом з тим, програмою "Українське вугілля", прийнятою Кабінетом Міністрів у вересні 2001 р., передбачено підвищення обсягів видобутку вугілля до 110 млн. т у 2025 р. Програма передбачає поступове збільшення бюджетного фінансування вугільної галузі. Загалом у 2001-2025 pp. на її розвиток планується направити 46,22 млрд. грн.

Необхідність цього зумовлена зростанням ролі вугілля як енергетичного палива у зв'язку із зменшенням постачань в Україну нафти і газу та прийнятим курсом на забезпечення країни внутрішніми енергоресурсами. Програмою передбачається здійснити комплекс заходів, спрямованих на підвищення конкурентоздатності вугілля, за рахунок збільшення потужності шахт, підлеглих реконструкції; будівництва нових великих шахт; комплексної механізації основних та допоміжних процесів при веденні гірничих робіт.

У зв'язку з вищесказаним, усе більшого значення набуває вибір раціональних технологічних рішень в області гірничого проектування: способів підготовки шахтних полів, систем розробок, технологічних схем ведення очисних і підготовчих робіт, способів охорони підготовчих виробок.

Дійсний дипломний проект, метою якого є відробка виймальної дільниці пл. №<sub>6</sub> в заданих гірничо-геологічних умовах, виконаний на основі реальних гірничо-геологічних і гірничотехнічних умов. Обсяг розв'язуваних у проекті задач відповідає вимогам виданого завдання.

# 1 ГЕОЛОГІЧНА ЧАСТИНА ПРОЕКТУ

## 1.1 Геологія родовища

### 1.1.1 Загальні відомості про шахту

До шахти підведена під'їзна залізнична гілка, що відходить від залізничної магістралі. По полю шахти паралельно залізниці проходить асфальтована магістраль.

Водопостачання шахти здійснюється за рахунок місцевих джерел та водотоків, електропостачання від мережі "Донбасенерго".

Вугілля шахти використовується як енергетичне паливо.

### 1.1.2 Геологічна будова шахтного поля

#### 1.1.2.1 Стратиграфія і літологія

В геологічній будові шахтного поля приймають участь відкладення кам'яновугільної і четвертинної систем. Кам'яновугільні відкладення представлені світами  $C_2^5$ ,  $C_2^6$  та  $C_2^7$ .

Кам'яновугільні відкладення складені піщаними та глинястими сланцями, пісковиками, вапняками та вугіллям.

Четвертинні відкладення представлені ґрунтовим шаром та жовтобурими суглинками. Залягають вони на розмитій поверхні кам'яновугільних відкладень. Потужність четвертинних відкладень досягає 15 м.

Короткі відомості про стратиграфію і літологію наведені в табл. 1.1.

Таблиця 1.1 – Літолого-стратиграфічна характеристика вугленосної товщі

Індекс світи	Потужність, м	Літологічний склад					Робочі вугільні пласти	Маркіруючі горизонти
		пісковик	алевроліт	аргіліт	вугілля	вапняк		
		$\frac{M}{\%}$	$\frac{M}{\%}$	$\frac{M}{\%}$	$\frac{M}{\%}$	$\frac{M}{\%}$		
$C_2^7$	215	$\frac{79}{37}$	$\frac{105}{49}$	$\frac{11}{5}$	$\frac{5}{2}$	$\frac{15}{7}$	$m_3$	$M_{10}, M_9, M_8, M_4, M_3, M_1$
$C_2^6$	340	$\frac{133}{39}$	$\frac{150}{44}$	$\frac{17}{5}$	$\frac{10}{3}$	$\frac{30}{9}$	$\mathcal{L}_8, \mathcal{L}_6^B, \mathcal{L}_1$	$L_8, L_7, L_6, L_5, L_4, L_3$
$C_2^5$	570	$\frac{228}{40}$	$\frac{245}{43}$	$\frac{46}{8}$	$\frac{11}{2}$	$\frac{40}{7}$	$k_7^1$	$K_8, K_7, K_6, K_4, K_2, K_1$

### 1.1.2.2 Тектоніка

В тектонічному відношенні поле шахти приурочене до північного крила синкліналі.

Падіння порід південно-західне, кути падіння змінюються в межах 5-15°.

В межах шахтного поля існує ряд розривних порушень переважно насувного характеру. Найбільш значними з них є насуви: І, ІІ та ІІІ, Краматорський, Запорізький, Чуревський, Міуський, Уломський, Олексіївський, Демінський, Козачий, Терновий. Більш мілкими являються такі насуви: Полоський, Л-К, С-Д та ряд інших, не отримавши назву.

Гірськими роботами виявлені лише поодинокі розривні порушення скидового типу з амплітудою до 1 м.

За тектонічною будовою шахтне поле відноситься до 1 групи.

### 1.1.2.3 Вугленосність

Промислова вугленосність приурочена до відкладень світ  $C_2^5$ ,  $C_2^6$  та  $C_2^7$ .

Характеристика робочих вугільних пластів наведена в табл. 1.2. Структурна колонка пласта  $\ell_6$  зображена на листі 1 графічної частини проекту.

Таблиця 1.2 – Характеристика робочих вугільних пластів

Індекс пласта	Потужність пласта, м		Відстань між пластами	Будова	Витриманість
	Загальна	Корисна			
	Від – до середня	Від – до середня			
$m_3$	$0,72 - 0,80$ 0,76	$0,72 - 0,80$ 0,76	220	проста	витриманий
$\ell_6^B$	$0,80 - 0,90$ 0,85	$0,75 - 0,85$ 0,80		складна	невитриманий

### 1.1.2.4 Якість вугілля

Відповідно до ДСТУ 3472-96 вугілля відноситься до антрацитів. Характеристика якості вугілля наведена в табл. 1.3.

Таблиця 1.3 – Характеристика якості вугілля

Індекс пласта	Показники якості					Марки вугілля
	Зольність $A^{daf}$ , %	Вологість $W_t^r$ , %	Сірчаність $S_t^d$ , %	Вихід летючих речовин $V^{daf}$ , %	Вища теплотворна спроможність $Q_b^{daf}$ , ккал/кг	
$m_3$	15,8	6,9	3,5	4,7	8460	A
$\ell_6^B$	19,5	5,8	3,6	3,5	8430	A

### 1.1.2.5 Гідрогеологічні умови

Підземні води приурочені до четвертинних і кам'яновугільних відкладень. В обводненні гірничих виробок води четвертинних відкладень участі не приймають, а джерелом обводнення являються води кам'яновугільних відкладень.

Водоносні горизонти приурочені до тріщинуватих пісковиків і вапняків, рідше – до сланців. Підземні води пластово-тріщинні, напірні. Живлення водоносних горизонтів відбувається за рахунок інфільтрації атмосферних осадів і паводкових вод.

Найбільш витриманими водоносними горизонтами, що приймають участь в обводненні виробок, являються вапняки  $M_8$ ,  $M_7$ ,  $M_4$ ,  $M_2$ ,  $M_1$  і пісковики  $M_7Sm_8$ ,  $M_5Sm_6$ ,  $M_4Sm_5$ . Всі водоносні горизонти гіdraulічно пов'язані між собою тектонічними порушеннями.

Шахтні води сульфатно-хлоридно-натрієво-кальцієвого типу. Води дуже жорсткі, з загальною жорсткістю 12,2-12,8 мг-екв/дм<sup>3</sup>, лужні (рН = 8,3), слабоагресивні до бетонів. Сухий залишок досягає 1,9-2,5 г/л.

Фактичний приток води складає:

нормальний – 260 м<sup>3</sup>/годину;

максимальний – 300 м<sup>3</sup>/годину.

### 1.1.2.6 Гірничо-геологічні умови

Основні відомості про вміщуючі породи вугільних пластів наведені в табл. 1.4.

Таблиця 1.4 – Основні відомості про вміщуючі породи вугільних пластів

Пласт	Безпосередня покрівля				Основна покрівля				Безпосередня підошва			
	Тип породи	Потужність, м	Коефіцієнт міцності	Категорія по ДонВУГІ	Тип породи	Потужність, м	Коефіцієнт міцності	Категорія по ДонВУГІ	Тип породи	Потужність, м	Коефіцієнт міцності	Категорія по ДонВУГІ
$m_3$	сланець піщаний	2,0	4	$B_3$	сланець піщаний	7,0	4	$A_2$	сланець піщаний	4,0	4	$\Pi_2$
$\ell_6^B$	вапняк	0,9	8	$B_5$	сланець піщаний	8,0	4	$A_2$	сланець піщаний	1,0	4	$\Pi_2$

Шахта віднесена до небезпечних за раптовими викидами вугілля та газу.

Вугільні пласти відносяться до загрозливих за раптовими викидами вугілля та газу з глибини 150 м, пісковики – безпечні за раптовими викидами.

Природна газонасність пластів складає 35 м<sup>3</sup>/т.с.б.м.

Вугілля пластів не схильне до самозаймання та гірським ударам.

Проходження гірничих виробок буде здійснюватися в силікозонебезпечних умовах.

Геотермічний градієнт складає  $2,5^{\circ}\text{C}$  на 100 м глибини. Ізотерма  $+26^{\circ}\text{C}$  проходить на глибині 344 м. З цієї глибини потрібне проведення заходів по охолодженню та кондиціювання повітря.

## 1.2 Границі і запаси шахтного поля

Технічними границями поля шахти є:

по повстанню на півночі – виходи пластів під наноси;

по падінню на півдні – ізогіпса – 400 м;

по простяганню:

- на сході – насув III, який розташований на відстані 3 км від головного похилого стовбура;

- на заході – насув Терновий, який розташований на відстані 3 км від головного похилого стовбура;

Розміри шахтного поля:

по простяганню – 6000 м;

по падінню – 2600 м.

Площа шахтного поля –  $15,6 \text{ km}^2$ .

Розміри ділянки шахтного поля, що залишилася до відпрацювання:

по простяганню – 6000 м;

по падінню – 800 м.

Площа ділянки шахтного поля, що залишилася до відпрацювання –  $4,8 \text{ km}^2$ .

Розвідка шахтного поля здійснена мережею геологічних розвідницьких свердловин з відстанню між ними 250-500 м.

По категоріям розвіданості запаси вугілля розподілені: A=20 %; B=40 %; C<sub>1</sub>=40 %.

Визначимо запаси шахтного поля способом середнього арифметичного, тому що кут падіння і потужність пласта у межах ділянки, що проєクトується, коливаються не значно ( $2\text{-}3^{\circ}$  та 2-3 см відповідно) за формулою:

$$Q_{cp.ap} = \frac{S_r}{\cos \alpha} \cdot m_{cp} \cdot \gamma, \text{ т,} \quad (1.1)$$

де  $S_r$  – горизонтальна проекція пласта,  $\text{m}^2$ ;

$m_{cp}$  – середня нормальна корисна потужність пласти, м;

$\gamma$  – об'ємна вага вугілля,  $\text{t/m}^3$ .

Результати підрахунку запасів зведемо в табл. 1.5.

Таблиця 1.5 – Підрахунок балансових запасів

Індекс пласта	S, м <sup>2</sup>	m <sub>ср.н.</sub> , м	γ, т/м <sup>3</sup>	Q, тис.т	Примітка
m <sub>3</sub>	4800000	0,76	1,6	5837	
ℓ <sub>6<sup>в</sup></sub>	4800000	0,80	1,6	6144	
Усього				11981	

Визначимо проектні втрати вугілля.

Втрати вугілля в цілику під проммайданчиком не розраховуємо, тому що вертикальні виробки в шахтному полі відсутні ( $\Pi_1 = 0$ ).

Визначимо втрати в бар'єрному цілику з нижньою технічною границею:

$$\Pi_2 = \ell \cdot d \cdot m \cdot \gamma, \text{ т}, \quad (1.2)$$

де  $\ell$  – довжина цілика в площині пласта, м;

$d$  – ширина цілика, м;

$$d = 5 \cdot m + 0,05 \cdot H + 0,002 \cdot L, \text{ м}, \quad (1.3)$$

де  $H$  – середня глибина цілика від земної поверхні, м;

$L$  – довжина ходу маркшайдерської зйомки від ствола до цілика, м.

Результати розрахунку зведемо в табл. 1.6.

Таблиця 1.6 – Підрахунок втрат вугілля в бар'єрному цілику з нижньою технічною границею

Індекс пласта	m, м	H, м	L, м	d, м	ℓ, м	γ, т/м <sup>3</sup>	Π <sub>2</sub> , т
m <sub>3</sub>	0,76	800	2400	35	6000	1,6	255000
ℓ <sub>6<sup>в</sup></sub>	0,80	800	2400	36	6000	1,6	276000
Усього							531000

Визначимо проектні втрати біля геологічних порушень:

$$\Pi_3 = d_h \cdot \ell_h \cdot m \cdot \gamma, \text{ т}, \quad (1.4)$$

де  $d_h$  – ширина зони розламу уздовж тектонічного порушення, м;

$\ell_h$  – довжина тектонічного порушення.

Результати розрахунку зведемо в табл. 1.7.

Таблиця 1.7 – Підрахунок втрат біля геологічних порушень

Індекс пласта	$d_h$ , м	$\ell_h$ , м	$m$ , м	$\gamma$ , т/м <sup>3</sup>	$\Pi_3$ , т
Втрати біля III насуву					
$m_3$	50	800	0,76	1,6	36000
$\ell_6^B$	50	800	0,80	1,6	38000
<b>Разом</b>					<b>74000</b>
Втрати біля Тернового насуву					
$m_3$	50	800	0,76	1,6	36000
$\ell_6^B$	50	800	0,80	1,6	38000
<b>Разом</b>					<b>74000</b>
<b>Усього</b>					<b>148000</b>

Визначимо проектні експлуатаційні втрати:

$$\Pi_4 = [Q_{\text{бал}} - \Sigma (\Pi_1 + \Pi_2 + \Pi_3)] \cdot c, \text{ т}, \quad (1.5)$$

де  $Q_{\text{бал}}$  – балансові запаси шахти, т;  
 $c$  – коефіцієнт експлуатаційних втрат.

$$\Pi_4 = [11981000 - (0 + 531000 + 148000)] \cdot 0,03 = 339000 \text{ т.}$$

Визначимо сумарний відсоток проектних втрат:

$$\Sigma \Pi = \frac{\Pi_1 + \Pi_2 + \Pi_3 + \Pi_4}{Q_{\text{бал}}} \cdot 100, \% \quad (1.6)$$

$$\Sigma \Pi = \frac{0 + 531000 + 148000 + 339000}{11981000} \cdot 100 = 8,5 < 15 \%. \quad (1.6)$$

Визначимо промислові запаси шахти:

$$Q_{\text{пр}} = Q_{\text{бал}} - \Sigma (\Pi_1 + \Pi_2 + \Pi_3 + \Pi_4), \text{ т}; \quad (1.7)$$

$$Q_{\text{пр}} = 11981000 - (0 + 531000 + 148000 + 339000) = 10963000 \text{ т.}$$

$$Q_{\text{пр}} = 11 \text{ млн. т.}$$

Строк служби шахти:

$$T = \frac{Z_{\text{пром}}}{A_{\text{ш.р}}}, \text{ років}, \quad (1.8)$$

де  $A_{\text{ш.р}}$  – річний видобуток шахти, тис. т;

$$T = \frac{10963}{600} = 18 \text{ років.}$$

## 2 ОСНОВНА ЧАСТИНА ПРОЕКТУ

### 2.1 Розробка основних напрямків проекту

Основні техніко-економічні показники роботи шахти за 2019 рік наведені в табл. 2.1.

Таблиця 2.1 – Основні техніко-економічні показники роботи шахти за 2019 рік

№	Показник	Од. вимір.	Значення		
			План	Факт	%
1	Проектна потужність шахти	т	500000	396425	79,3
2	Виробнича потужність	т	360000	396425	110,1
3	Навантаження на очисний вибій	т/добу	500	551	110,1
4	Кількість лав	шт	2	2	100,0
5	Посування ЛОЗ	м/міс	28	27,5	98,2
6	Швидкість проведення виробок	м/міс	40	35	87,5
7	Чисельність трудящих ППП	чол.	1453	1487	102,3
8	в тому числі робочих з видобутку	чол.	1115	1149	103,0
9	в тому числі ГРОВ	чол.	155	186	120,0
10	прохідників	чол.	91	138	151,6
11	Середня заробітна плата ППП	грн/міс	22956,2	22998,4	100,2
12	робочих з видобутку	грн/міс	23129,4	23298,6	100,7
13	ГРОВ	грн/міс	34259,8	34423,8	100,5
14	прохідників	грн/міс	33156,8	33294,2	100,4
15	Зольність видобуваємого вугілля	%	35,1	37,2	106,0
16	Собівартість вугілля	грн/т	1742,5	1754,5	100,7
17	Ціна реалізуємого вугілля	грн/т	1850,6	1860,8	100,6

Шахта здана в експлуатацію в 1940 році та востановлена в 1944 році з проектною потужністю 300 тис. т/рік. В період з 1977 по 1986 роки виробнича потужність шахти досягала 600 тис. т/рік. З 1998 року в зв'язку з частковою відробкою запасів і погіршенням гірничо-геологічних умов виробнича потужність була знижена до 300 тис. т/рік.

Підготовка шахтного поля – панельна, відробка ярусів в панелях – восходяча. Система розробки, яка застосовується на шахті – суцільна.

В дійсний час в роботі знаходиться пл. №<sup>8</sup>, на якому працює 1 лава, обладнана комбайном 1К 101У з індивідуальним кріпленням.

Охорона прилеглих до лав виробок здійснюється ціликами вугілля та буто-вими полосами.

Проведення підготовчих виробок здійснюється буровибуховим способом, прибирання породи – вантажними машинами 1ППН-5. Виробки закріплюються КМП А3.

Транспортування вантажів по головним відкотним виробкам здійснюється в вагонетках УВГ-1,4 за допомогою акумуляторних електровозів АМ 8Д та 2АМ

8Д. Видача вугілля з шахти здійснюється по конвеерному стовбуру пл. 4, обладнаному стрічковими конвеєрами ЗЛ 100У, 2Л 100У та 1ЛУ 100.

На основі проведеного аналізу можна визначити наступні задачі проекту:

- розрахувати оптимальну виробничу потужність шахти;
- розрахувати кількість лав, необхідних для забезпечення розрахованої виробничої потужності;
- вибрати раціональний спосіб підготовки залишившихся запасів;
- вибрати раціональну систему розробки пластів;
- вибрати очисне, прохідницьке та транспортне устаткування для відробки пластів;
- удосконалити очисні роботи по пл. 6.

## **2.2 Технологічні схеми ведення очисних робіт, виробнича потужність шахти і режим її роботи**

### **2.2.1 Вибір і обґрунтування технологічних схем ведення очисних робіт і очисного устаткування**

#### **2.2.1.1 Прогноз гірничо-геологічних умов відпрацювання**

Прогноз здійснююмо за допомогою ПК по програмі "Прогноз", розробленої на кафедрі гірництва. Результати розрахунку представлені на листингу 2.1.

#### **2.2.1.2 Вибір технологічної схеми ведення очисних робіт і видобувного устаткування**

Вибір видобувного устаткування і технологічної схеми ведення очисних робіт здійснююмо з урахуванням вимог ПБ [1], орієнтуючись на застосування вузькоахватної техніки.

У даних гірничо-геологічних умовах можливе застосування наступних варіантів технологічних схем:

- технологічна схема з застосуванням вузькоахватних комбайнів або стругових установок і індивідуального кріплення;
- технологічна схема з застосуванням механізованих комплексів.

Застосування стругової технології нераціонально, тому що у пласті є включення колчедану, що несприятливо для ефективного використання стругових установок. Так як застосування межкомплексу дозволяє підвищити середньодобове навантаження на лаву і продуктивність праці ГРОВ більше, ніж у 2 рази в порівнянні з комплектами видобувного устаткування з індивідуальним кріпленням, то приймаємо технологічну схему з використанням механізованого комплексу, причому для забезпечення потокової організації робіт транспорт вугілля з лави доцільно здійснювати конвеерним транспортом.

Вибір комплексу здійснююмо на основі аналізу областей їх застосування [2] у залежності від потужності пласта, кута його падіння, категорії покрівлі по стійкості і обвалюванню та ін.





У даних умовах можливе застосування наступних комплексів:

- 1КМ 103М з комбайном 1К 103М;
- 1МКД 90 з комбайном КА 90;
- МДМ з комбайном 1К 103М.

Порівняння варіантів робимо по фактору забезпечення максимального навантаження на очисний вибій.

Розрахунок навантаження по організаційно-технічному фактору робимо на ПК по програмі, розробленої на кафедрі гірництва.

Відповідно до зроблених розрахунків (див. листинг 2.2) найбільше навантаження на лаву буде при використанні комплексу МДМ з комбайном 1К 103М і складе при кількості циклів на добу 4 – 560 т/добу.

Розрахунок нормативного навантаження здійснюємо за допомогою ПК по програмі "Прогноз".

Відповідно до розрахунку (див. листинг 2.1) нормативне навантаження на лаву складе 448 т/добу.

Перевірку навантаження по газовому фактору робимо у пункті 2.4.4.

Для подальших розрахунків приймаємо навантаження по організаційно-технічному фактору.

## 2.2.2 Встановлення оптимальної виробничої потужності шахти

Виробничу потужність шахти визначимо по формулі проф. Звягіна [3]:

$$A_{шр} = \sqrt{\frac{C_1 \cdot \varphi^2 + E_n \cdot K'_1}{\frac{C_1}{Z_{пром}} + K'_{пр} \cdot E_n \cdot K''_1}}, \text{ тис. т,} \quad (2.1)$$

де  $C_1$ ,  $\varphi$ ,  $K'_1$   $K''_1$   $K'_{пр}$  – розрахункові коефіцієнти, що характеризують капітальні і експлуатаційні витрати ( $C_1 = 28$ ,  $K'_1 = 3307$ ,  $K''_1 = 25,1$ ,  $K'_{пр} = 0,000134$ );

$E_n$  – нормативний коефіцієнт порівняльної ефективності капіталовкладень у вугільній промисловості ( $E_n = 0,15$ );

$Z_{пром}$  – промислові запаси шахтного поля, тис. т;

$$\varphi = 4,4 + 0,18 \cdot A_{виб}, \quad (2.2)$$

де  $A_{виб}$  – місячна продуктивність очисного вибою, тис. т;

$$A_{виб} = A_{доб} \cdot n_{дн}, \text{ тис. т,} \quad (2.3)$$

де  $A_{доб}$  – добове навантаження на очисний вибій, тис. т;

$n_{дн}$  – кількість робочих днів на місяць ( $n_{дн} = 25$  днів);

$$A_{виб} = 0,56 \cdot 25 = 14 \text{ тис. т;}$$



$$\phi = 4,4 + 0,18 \cdot 14 = 9,7;$$

$$A_{шр} = \sqrt{\frac{28 \cdot 9,7^2 + 0,15 \cdot 3307}{\frac{28}{10963} + 0,000134 \cdot 0,15 \cdot 25,1}} = 656 \text{ тис.т.}$$

Приймаємо найближчу меншу типову проектну потужність шахти  $A_{шр} = 600$  тис. т.

Повний термін служби горизонту:

$$T = T_{розр} + t_{осв} + t_{згас}, \text{ лет,} \quad (2.4)$$

де  $T_{розр}$  – розрахунковий термін служби горизонту, років;

$t_{осв}$  – час на освоєння виробничої потужності шахти, років (при  $A_{шр} = 600$  тис. т  $t_{осв} \leq 3$  роки);

$t_{згас}$  – час на згасання видобутку, років ( $t_{згас} = 2$  роки);

$$T_{розр} = \frac{Z_{пром}}{A_{шр}}, \text{ років;} \quad (2.5)$$

$$T_{розр} = \frac{10963000}{600000} = 18 \text{ років;}$$

$$T = 18 + 1 + 2 = 21 \text{ рік.}$$

Режим роботи шахти по видобутку:

- число робочих днів за рік – 300;
- число робочих змін по видобутку вугілля за добу – 3;
- тривалість робочої зміни:
  - на підземних роботах – 6 годин;
  - на поверхні – 8 годин.

## 2.3 Розкриття, підготовка і система розробки вугільного пласти

### 2.3.1 Підготовка шахтного поля і обґрунтування прийнятої системи розробки

Виходячі з георічно-геологічних та гірничотехнічних умов приймаємо для відробки пластів панельний спосіб підготовки.

Вибір системи розробки проводимо методом техніко-економічного порівняння. У даних георічно-геологічних умовах найбільш підходять дві системи розробки: стовпова система розробки лава-ярус з повторним використанням транспортного штреку у якості вентиляційного і прямоточним провітрюванням (рис. 2.1)

і стовпова система розробки лава-ярус з проведенням виробок вприсічку до виробленого простору (рис. 2.2).

Для економічного порівняння застосовуємо програму "Прогноз". За допомогою програми розрахуємо вартість проведення та підтримання 1 м виробок (див. листинг 2.3).

Розрахуємо питомі витрати для кожної системи розробки:

$$C = \frac{\Sigma K + \Sigma R + \Sigma G}{Z_{\text{в.п}}}, \text{ грн/т}, \quad (2.6)$$

де  $\Sigma K$  – сумарні витрати на проведення виробок, грн;

$\Sigma R$  – сумарні витрати на підтримання виробок, грн;

$\Sigma G$  – сумарні витрати на транспортування вугілля, грн;

$Z_{\text{в.п}}$  – запаси вугілля у виймальному полі, т.

Результати розрахунків зведені в табл. 2.2.

Таблиця 2.2 – Результати розрахунку питомих витрат

Варіант	Витрати на проведення, грн	Витрати на підтримання, грн	Витрати на транспорт, грн	Сумарні витрати, грн	Питомі витрати, грн/т	Питомі витрати, %
1	263900	371200	259800	894900	1,62	100
2	471900	279500	561300	1312700	2,36	146

Як видно з табл. 2.2, варіант 1 на 46 % дешевше варіанту 2, тому його їй приймаємо для подальшого розгляду.

Зробимо розрахунок лінії очисних вибоїв по шахті [3].

Визначимо добове посування діючої лави:

$$V_{\text{д.доб}} = r \cdot n_{\text{ц}}, \text{ м/добу}, \quad (2.7)$$

де  $r$  – ширина захоплення в.о. комбайна, м;

$n_{\text{ц}}$  – кількість циклів за добу ( $n_{\text{ц}} = 4$ );

$$V_{\text{д.доб}} = 0,4 \cdot 4 = 1,6 \text{ м/добу}.$$

Визначимо річне посування діючої лінії очисних вибоїв:

$$V_{\text{д.річ}} = N \cdot V_{\text{д.доб}} \cdot K, \text{ м/рік}, \quad (2.8)$$

де  $N$  – число робочих днів за рік ( $N = 300$ , див. п. 2.2.2);

$K$  – коефіцієнт гірничо-геологічних умов ( $K = 0,95$  [3]);

$$V_{\text{д.річ}} = 300 \cdot 1,6 \cdot 0,95 = 456 \text{ м/рік}.$$

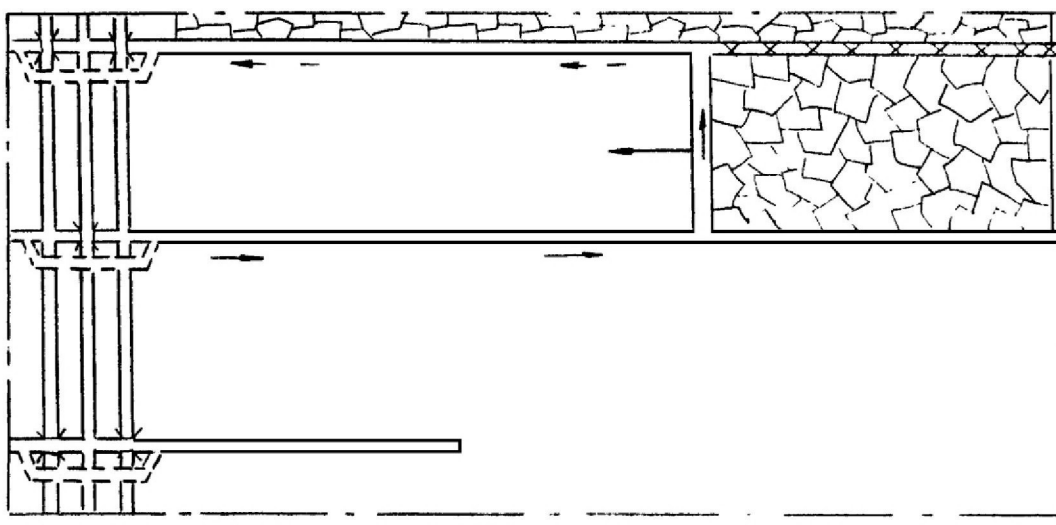


Рисунок 2.1 – Стовпова система розробки лава-ярус з повторним використанням транспортного штреку у якості вентиляційного і прямоточним провітрюванням

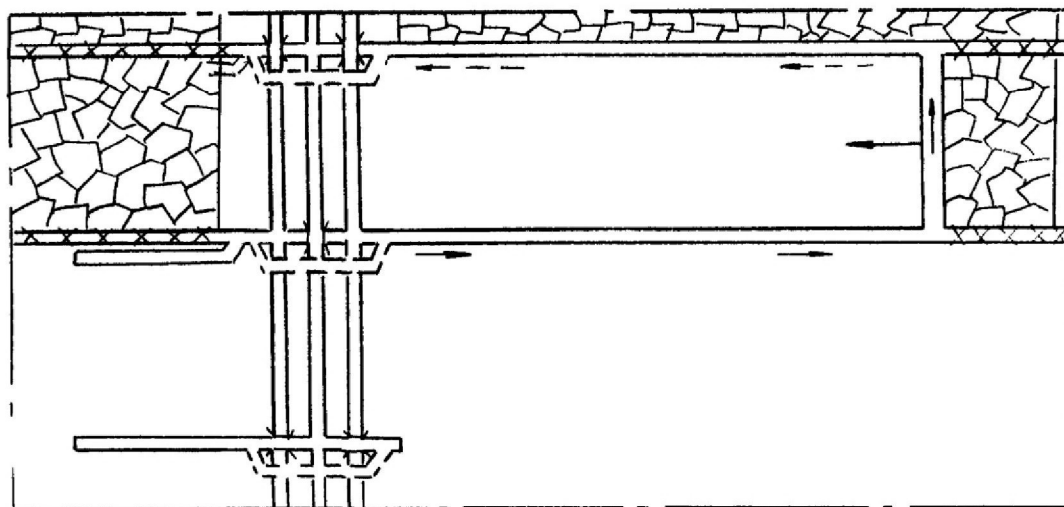


Рисунок 2.2 – Стовпова система розробки лава-ярус з проведенням виробок вприсічку до виробленого простору



Визначимо сумарну продуктивність пластів, що відробляються:

$$\Sigma p = \Sigma m \cdot \gamma_{cp}, \text{ т/м}^2, \quad (2.9)$$

$$\Sigma p = 1,81 \cdot 1,6 = 2,9 \text{ т/м}^2.$$

Визначимо діючу лінію очисних вибоїв:

$$h_d = \frac{A_{шр} \cdot k_{оч} \cdot k_{вид}}{v_d \cdot \Sigma p \cdot c}, \text{ м}, \quad (2.10)$$

де  $k_{оч}$  – коефіцієнт, що залежить від кількості вугілля, що добувається з очисних вибоїв ( $k_{оч} = 1$  [3]);

$k_{вид}$  – коефіцієнт, що залежить від кількості вугілля, що добувається з діючих очисних вибоїв (згідно ПТЕ [4] щодо резервних вибоїв  $k_{вид} = 0,92$ );

$c$  – коефіцієнт виймання вугілля ( $c = 0,97$  [3]);

$$h_d = \frac{600000 \cdot 1 \cdot 0,92}{456 \cdot 2,9 \cdot 0,97} = 430 \text{ м.}$$

Визначимо сумарну кількість діючих лав по шахті:

$$\Sigma n = \frac{\Sigma h_d}{l_l}, \text{ лав,} \quad (2.11)$$

де  $l_l$  – довжина лави, м;

$$\Sigma n = \frac{430}{200} = 2,15 \text{ лави.}$$

Приймаємо 3 лави.

Уточнимо сумарну діючу лінію очисних вибоїв по шахті:

$$\Sigma h_d = \Sigma n_{л.д} \cdot l_l, \text{ м,} \quad (2.12)$$

$$\Sigma h_d = 3 \cdot 200 = 600 \text{ м.}$$

Виходячи з рекомендацій [3], в даних гірничо-геологічних умовах приймаємо на 3 діючі лави 1 резервно-діючу.

Визначимо загальне число лав по шахті:

$$\Sigma n_{заг} = \Sigma n_{л.д} + \Sigma n_{р.д.л}, \text{ лав,} \quad (2.13)$$

де  $\Sigma n_{р.д.л}$  – сумарна кількість резервно-діючих лав;

$$\Sigma n_{зар} = 3 + 1 = 4 \text{ лави.}$$

Визначимо загальну лінію очисних вибоїв по шахті:

$$\Sigma h_{зар} = \Sigma n_{зар} \cdot l_{л}, \text{ м,} \quad (2.14)$$

$$\Sigma h_{зар} = 4 \cdot 200 = 800 \text{ м.}$$

Визначимо максимально можливу річну продуктивність шахти, з урахуванням одночасної роботи діючих і резервно-діючої лав:

$$A_{шр(max)} = \Sigma h_{зар} \cdot V_{д.річ} \cdot p \cdot c, \text{ т/рік,} \quad (2.15)$$

$$A_{шр(max)} = 800 \cdot 456 \cdot 2,9 \cdot 0,95 = 805000 \text{ т/рік.}$$

Визначимо фактичний коефіцієнт резерву виробничої потужності шахти:

$$k_{пез} = \frac{A_{шр(max)}}{A_{шр}}; \quad (2.16)$$

$$k_{пез} = \frac{8050000}{600000} = 1,3.$$

Отриманий результат входить в інтервал нормативного значення коефіцієнту резерву, який рівний 1,1-1,3.

Визначимо середнє річне посування загальної лінії очисних вибоїв:

$$V_{зар} = \frac{V_{д.р}}{k_{пез}}, \text{ м/рік;} \quad (2.17)$$

$$V_{зар} = \frac{456}{1,3} = 990 \text{ м/рік.}$$

Для того, щоб вчасно підготувати нове виймальне поле, не допускаючи запізнівань у підготовці і не створюючи зайвих випереджень, розрахуємо оптимальне співвідношення очисних і підготовчих робіт, виходячи з умови своєчасної підготовки [6]:

$$T_{підг} + t_{пез} = T_{оч}, \quad (2.18)$$

де  $T_{підг}$  – загальні витрати часу на підготовку виймального поля, міс.;

$t_{\text{рез}}$  – нормативний резерв часу на підготовку нового виймального поля, міс. ( $t_{\text{рез}} = 1-2$  міс.);

$T_{\text{оч}}$  – тривалість відробки частини поля, що залишилась, міс.

Визначимо витрати часу на підготовку виймального поля:

$$T_{\text{підг}} = t_{\text{пл}} + t_{\text{ш}} \cdot t_{\text{р.п}} \cdot t_{\text{мон}} = t_{\text{пл}} + \frac{L_{\text{в.п}}}{V_{\text{ш}}} + \frac{l_{\text{л}}}{V_{\text{рп}}} + t_{\text{мон}}, \text{ міс}, \quad (2.19)$$

де  $t_{\text{пл}}$  – час на спорудження прийомних площацок, міс;

$t_{\text{ш}}$ ,  $t_{\text{р.п}}$  – відповідно час, що витрачується на проведення штреку і розрізної печі, міс;

$t_{\text{мон}}$  – час на монтаж устаткування, міс;

$L_{\text{в.п}}$  – довжина виймального поля, м;

$l_{\text{л}}$  – довжина лави, м;

$V_{\text{ш}}$ ,  $V_{\text{рп}}$  – швидкість проведення відповідно штреку і розрізної печі, м/міс.

Час на відпрацювання стовпа:

$$T_{\text{оч}} = \frac{X}{V_{\text{оч}}}, \text{ міс}. \quad (2.20)$$

Умовимося, що в середньому швидкість проведення виробки повинна бути:

$$V_{\text{пв}} = V_{\text{ш}} = V_{\text{рп}}, \text{ м/міс}, \quad (2.21)$$

тоді випливає, що в середньому швидкість проведення виробки повинна бути:

$$V_{\text{пв}} = \frac{2 \cdot l_{\text{л}} + L_{\text{в.п}}}{\frac{X}{V_{\text{оч}}} - (t_{\text{пл}} + t_{\text{ш}} + t_{\text{р.п}} + t_{\text{мон}} + t_{\text{рез}})}, \text{ м/міс}; \quad (2.22)$$

$$V_{\text{пв}} = \frac{2 \cdot 200 + 1500}{\frac{500}{80} - (1+1+1+1+1)} = 150 \text{ м/міс}.$$

Для своєчасної підготовки нового виймального поля швидкість проведення виробок повинна бути не менше 150 м/міс, причому підготовку нового поля необхідно почати, коли в діючому полі залишиться відробити 500 м.

Вибір раціонального способу охорони виробок, що примикають до лави, робимо з використанням програми "Охорона".

Відповідно до зробленого розрахунку (див. листинг 2.4) конвеєрний штрек доцільно охороняти за допомогою литої смуги, тому що витрати на підтримку при даному варіанті найменші.

Параметри технології розрахуємо згідно з [7]:



Ширина смуги:

$$\text{Ш} = k \cdot m, \text{ м}, \quad (2.23)$$

де  $k$  – коефіцієнт, що враховує ступінь обвалювання основної покрівлі;

$$\text{Ш} = 1,0 \cdot 0,96 = 1,0 \text{ м.}$$

Відстань від контуру виробки в проходці до смуги:

$$\Delta = b \cdot h_h, \text{ м}, \quad (2.24)$$

де  $b$  – коефіцієнт, що враховує міцність порід підошви на стиск;

$h_h$  – середня висота нижньої підривки, м;

$$\Delta = 0,6 \cdot 1 = 0,6 \text{ м.}$$

Максимальне відставання смуги від кріплення очисного вибою не повинне перевищувати 3 м.

Вентиляційний штрек згашається слідом за очисним вибоєм, а для його тимчасового підтримання приймаємо викладення 1 ряду дерев'яних кострів і пробивання 1 ряду органного кріплення.

Для охорони панельних уклонів і хідників приймаємо цілики великих розмірів.

Ширину ціликових розраховуємо згідно з [7]:

$$v_{\text{ц}} = 30 + \frac{H - 300}{300} \cdot 10 - \frac{\sigma - 30}{30} \cdot 10 \geq 30 \text{ м}, \quad (2.25)$$

де  $H$  – глибина розробки, м;

$\sigma$  – міцність порід, що вміщують, МПа;

$$\sigma = \frac{\sigma_{\text{покр}} + \sigma_{\text{під}}}{2}, \text{ МПа}, \quad (2.26)$$

де  $\sigma_{\text{покр}}$ ,  $\sigma_{\text{під}}$  – відповідно міцність порід покрівлі і підошви, МПа;

$$\sigma = \frac{55 + 70}{2} = 62,5 \text{ МПа};$$

$$v = 30 + \frac{900 - 300}{300} \cdot 10 - \frac{62,5 - 30}{30} \cdot 10 = 32 \text{ м.}$$

### **2.3.2 Розкриття шахтного поля**

Шахтне поле розкрите 5 похилими стовбурами:

- пройденими до горизонту 15 штреків (ізогіпса мінус 208,4 м):
  - головним по пл.  $\ell_1$ ;
  - допоміжним по пл.  $\ell_1$ ;
  - конвеєрним по пл.  $\ell_1$ ;
- пройденими до горизонту 11 штреків (ізогіпса мінус 53,4 м):
  - вентиляційним по пл.  $\ell_6^B$ ;
  - головним по пл.  $\ell_8$ .

Крім похилих стовбурів, на полі шахти пробурена вентиляційна свердловина на пласт  $\ell_8$ .

Існуючу схему розкриття залишаємо без змін.

### **2.3.3 Капітальні гірничі виробки**

#### **2.3.3.1 Стовбури**

Головний стовбур пл.  $\ell_1$  обладнаний підйомною машиною ЦР  $4 \times 32/0,6$  і призначений для видачі породи і спуску матеріалів і обладнання.

Допоміжний стовбур пл.  $\ell_1$  обладнаний підйомною машиною Ц  $3,5 \times 2$  і призначений для спуску-підйому людей.

Конвеєрний стовбур пл.  $\ell_1$  обладнаний стрічковими конвеєрами ЗЛ 100У, 2Л 100У та 1ЛУ 100 і призначений для видача вугілля.

Головний стовбур пл.  $\ell_8$  обладнаний підйомною машиною Ц  $2,5 \times 2$ . Через зупинку робіт в східному крилі пл.  $\ell_8$  тимчасово не використовується.

Вентиляційний стовбур пл.  $\ell_6^B$  обладнаний підйомною машиною Ц  $2,5 \times 2$  і призначений для спуску-підйому людей на 11 горизонт.

Усі стовбури закріплені металевим арковим кріплінням з залізобетонним затягуванням.

Діаметр вентиляційної свердловини – 2,6 м, глибина – 363 м.

Перетини стовбурів зображені на листі № 1 графічної частини.

#### **2.3.3.2 Пристовбурний двір і головні розкриваючі виробки**

В даний час на шахті діють пристовбурні двори у похилих стовбурів на 15 горизонтах. Пристовбурний двір складається з протяжних виробок та камер. Об'єм виробок в свіtlі складає 5000 м<sup>3</sup>, об'єм камер 50 % об'єму виробок. У камері водовідливу встановлено 2 насосні агрегати. Довжина камери 30 м, висота – 3 м, перетин у свіtlі – 9 м<sup>2</sup>. Пол камери водовідливу, а також камери центральної електропідстанції розташований на 0,5 м вище рівня головок рейок в пристовбурному дворі. Довжина камери центральної електропідстанції 20 м, висота 3 м, ширина 4 м, перетин у свіtlі 12 м<sup>2</sup>. Камера дожидання розташована в безпосередній близькості від допоміжного стовбура. Камера дожидання розрахована на 40 чоловік. Ширина камери 2,6 м, висота 2,2 м, перетин у свіtlі 5,7 м<sup>2</sup>. Камера підземного медпункту також розташована поблизу допоміжного стовбура. Довжина камери 7,6 м, ширина 3 м, висота 2,2 м, перетин у свіtlі 6,6 м<sup>2</sup>.

## 2.4 Паспорта виймальної дільниці, проведення та кріплення підземних виробок

### 2.4.1 Паспорт виймання вугілля, кріплення та управління покрівлею в очисному вибої пл. $\ell_6$

#### 2.4.1.1 Гірничо-геологічний прогноз

Прогнозний гірничо-геологічний паспорт представлений на рис. 2.3.

#### 2.4.1.2 Обґрунтування параметрів паспорта виймання вугілля, кріплення і управління покрівлею в очисному вибої пласта $\ell_6$

Згідно п. 2.2. для механізації очисних робіт по пласту  $\ell_6$  приймаємо комплекс МДМ, до складу якого входять [2]:

- вузькоахватний комбайн 1К 103М;
- механізоване кріплення ДМ;
- скребковий конвеєр СП 202;
- кріплення сполучень УКС;
- скребковий перевантажувач – ПС;
- насосні станції СНТ-32;
- гідро і електроустаткування.

Схема роботи комбайна – двостороння, ширина смуги, що виймається – 0,4 м, спосіб зарубки комбайна в пласт – самозарубкою "косими" заїздами.

Перевірочний розрахунок реакції мехкріплення здійснюємо за умовою [7]:

$$R = \frac{\sum h_i \cdot \gamma_i \cdot (L_h + L_k)^2 \cdot L_h}{2 \cdot [(L_h - b_2)^2 + L_h^2]} \leq 0,8 R_t, \text{ МН/м}, \quad (2.27)$$

де  $R$  – розрахункове значення реакції заднього ряду стійок кріплення, МН;

$h_i$  – потужність  $i$ -го пласти безпосередньої покрівлі, м;

$\gamma_i$  – об'ємна вага порід  $i$ -го пласти безпосередньої покрівлі, МН/м<sup>3</sup>;

$L_h$  – максимальна ширина при вибійного простору при знятій смузі вугілля і не пересуненій секції кріплення, м;

$L_k$  – крок пересування кріплення, м;

$b_2$  – відстань між стійками в секції, м;

$R_t$  – табличне значення реакції заднього ряду стійок кріплення, МН/м [2].

$$R = \frac{6,2 \cdot 0,026 \cdot (6 + 0,63)^2 \cdot 6}{2 \cdot [(6 - 1,1)^2 + 6]} = 0,7 \leq 2 \cdot 0,8 = 1,6 \text{ МН/м.}$$

Умова виконується, отже для ефективного використання комплексу немає необхідності застосовувати заходи щодо розупрочнення покрівлі.

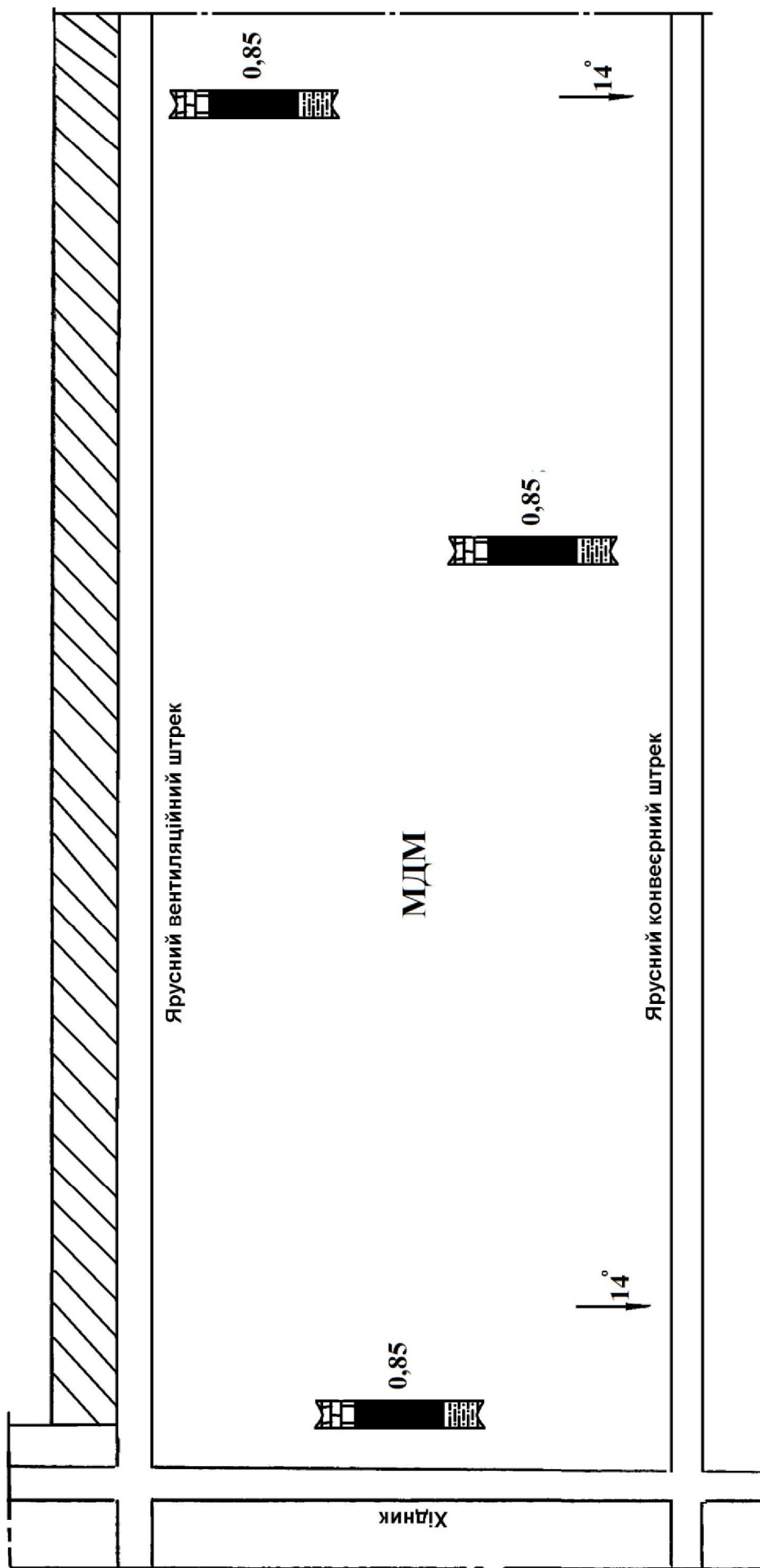


Рисунок 2.3 – Прогнозний гірничо-геологічний паспорт

Кріплення брівки здійснюється металевими стійками типу СУГМ і дерев'яними верхняками [8].

У якості кріплення посилення в відкотному штреку приймаємо металеві стійки 17ГКУ30, що встановлюються під кожну раму на відстані: перед лавою – 30 м; за лавою – 80 м.

Головки забайного конвеєру виносяться із лави у виробки, що примикають, і закріплюються на спеціальних опорах кріплення сполучень.

#### 2.4.1.3 Управління станом масиву гірничих порід

Розрахунок, приведений у п. 2.4.1.2, показав, що механізоване кріплення ДМ у даних гірничо-геологічних умовах може експлуатуватися з достатньою ефективністю, то заходи щодо розупрочнення покрівлі не передбачаємо.

Для забезпечення безпеки робіт, запобігання завалів лави, повітряних ударів просіку приймаємо спеціальні заходи [7]:

- обтягування гайок на скріплюючіх скобах аркового кріплення попереду лави на відстані 40 м;
- встановлення скріплюючих скоб та міжрамних стяжок, поламаних в результаті посилення гірничого тиску;
- заміна деформованих ремонтин в зоні опорного гірничого тиску попереду лави на відстані 40 м;
- перенастройка маслостанції СНТ-32 на підвищений тиск емульсії для збільшення несучою здібності секції кріплення;
- забезпечення запасу емульсії для гідросистеми механізованого кріплення ДМ;
- пересування секцій кріплення вслід за комбайном проводити з відставанням не більш 0,2-0,3 м;
- пересування секцій кріплення проводити з попереднім підпором верхніх перекрить без відриву від покрівлі пласта;
- забезпечення необхідного запасу лісних матеріалів для посилення кріплення (дерев'яні стійки  $\ell = 2$  м,  $d = 0,18-0,20$  м).

Визначимо ступінь підняття порід підошви в штреках [7]:

$$k = \frac{k \cdot H}{\sigma_n}, \quad (2.28)$$

де  $k$  – коефіцієнт, що враховує ступінь обвалювання порід покрівлі;

$H$  – глибина розробки, м;

$\sigma_n$  – міцність порід підошви, МПа;

$$k = \frac{2 \cdot 540}{40} = 27.$$

Визначимо ступінь підняття порід підошви в уклонах [7]:

$$k = \frac{H}{\sigma_n}, \quad (2.29)$$

$$k = \frac{540}{40} = 13,5.$$

Отже, згідно [7], підошва в штреках буде слабкообдимаючою, в уклонах – не обдимаючою.

На підставі порівняння розрахункового коефіцієнту ступеня підняття підошви з табличним значенням коефіцієнту [7], можна зробити висновок, що прийнятий спосіб охорони уклонів не забезпечує допустимий ступінь підняття підошви, тому що  $k = 27 > k_t = 14$ . Тому, в якості способу боротьби з підняттям підошви приймаємо камуфлетне висадження порід з наступним їх зміщеннем.

#### 2.4.1.4 Організація очисних робіт і основні техніко-економічні показники

З метою ефективної експлуатації видобувного устаткування, а також раціональної організації робіт у лаві приймаємо чотирьохзмінний добовий режим роботи очисного вибою: перша зміна – ремонтно-підготовчча, три інші – по видобутку вугілля. Тривалість робочої зміни – 6 годин. Тижневий робочий режим роботи ділянки – шестиденний робочий тиждень.

Форма організації праці робітників – добова комплексна бригада (МГВМ, ГРОВ, електрослюсарі), розбита на ланки.

Форма організації робіт в очисному вибої – поточна, що відповідає максимальній інтенсифікації виробництва.

Місячний план видобутку вугілля на ділянці:

$$D_{\text{мес}} = A_{\text{доб}} \cdot n_{\text{п.д}}, \text{ т,} \quad (2.30)$$

де  $A_{\text{доб}}$  – прийняте в п. 2.2 навантаження на очисний вибій, т/доб;

$n_{\text{п.д}}$  – кількість робочих днів на місяць, днів;

$$D_{\text{мес}} = 560 \cdot 25 = 14000 \text{ т.}$$

Розрахунок обсягів робіт в очисному вибої здійснюємо на 1 цикл по всім робочим процесам.

Виїмка вугілля комбайном:

$$D_k = L_k \cdot m \cdot r \cdot \gamma \cdot c, \text{ т,} \quad (2.31)$$

де  $L_k$  – комбайнова довжина лави, м;

$m$  – потужність пласта, м;

$r$  – ширина захоплення в.о. комбайна, м;

$\gamma$  – об’ємна вага вугілля, т/м<sup>3</sup>;

$c$  – коефіцієнт видобутку вугілля;

$$\Delta_k = 200 \cdot 0,85 \cdot 0,4 \cdot 1,6 \cdot 0,98 = 140 \text{ т.}$$

Зведення органних рядів:

$$n_{op} = \frac{r}{d} \cdot n_{op}, \text{ стійок,} \quad (2.32)$$

де  $d$  – діаметр стійки, м;

$n_{op}$  – кількість рядів органного кріплення;

$$n_{op} = \frac{0,4}{0,16} \cdot 2 = 5,3 \text{ стійок.}$$

Викладення дерев'яних кострів:

$$n_k = \frac{r}{a_k} \cdot n_k, \text{ штук,} \quad (2.33)$$

де  $a_k$  – крок встановлення кострів, м;

$n_k$  – кількість рядів кострів;

$$n_k = \frac{0,4}{2,4} \cdot 1 = 0,15 \text{ штук.}$$

Зведення литої смуги:

$$Q_{л.п} = Ш \cdot m \cdot r, \text{ м}^3, \quad (2.34)$$

де  $Ш$  – ширина литої смуги, м;

$$Q_{л.п} = 1,0 \cdot 0,85 \cdot 0,4 = 0,34 \text{ м}^3.$$

Розрахунок паспорту комплексної норми виробки і розцінки робимо в табл. 2.3 згідно з [10].

Визначимо нормативну трудомісткість робіт з обслуговування комплексу:

$$T_k = \frac{T_t}{K_u}, \text{ чол.-змін,} \quad (2.35)$$

де  $T_t$  – табличне значення трудомісткості по обслуговуванню комплексу;

$K_u$  – коефіцієнт циклічності;

Таблиця 2.3 – Розрахунок комплексної норми виробки і розрінки в очисному вибої

Вид робіт	Норма виробки			Обсяг робіт на цикл	Трудоміс- ткість на цикл	Тарифна ставка, грн	Сума зарплати, грн	Обґрунту- вання ЕНВ-06
	Норма послугов ування	за збірником	коєф. встановлена					
Вилітка вугілля комплексом, т	6,9	508	1,2	610	140	0,38	1205,50	458,09
МГВМ бр.						2,02	1186,48	2396,69
ГРОВ 5р.						5,3	0,10	1186,48
Зведення органних рядів, ст.		85		85		0,10	1186,48	118,65
Викладення дерев'яних кострів, шт.		22,6		0,9	20,3	0,15	0,02	1186,48
Зведення літої смуги, м <sup>3</sup>				1,13		0,3	0,88	1186,48
Разом						3,4		4041,26

$$K_u = \frac{N_y}{D_k}, \quad (2.36)$$

де  $N_y$  – встановлена змінна норма виробітку на виїмку вугілля в конкретних умовах;

$D_k$  – комбайнний видобуток на цикл, т;

$$K_u = \frac{610}{140} = 3,5;$$

$$T_k = \frac{6,9}{3,5} = 2,0 \text{ чол - змін.}$$

Трудомісткість машиніста-механіка комбайна:

$$T_m = \frac{1}{K_u}, \text{ чол.-змін;} \quad (2.37)$$

$$T_m = \frac{1}{3,5} = 0,3 \text{ чол - змін.}$$

Трудомісткість ГРОВ:

$$T_{\text{ГРОВ}} = T_k - T_m, \text{ чол.-змін;} \quad (2.38)$$

$$T_{\text{ГРОВ}} = 2,0 - 0,3 = 1,7 \text{ чол.-змін.}$$

Комплексна норма виробітку:

$$N_k = \frac{D_u}{\Sigma T}, \text{ т/чол.-змін,} \quad (2.39)$$

де  $\Sigma T$  – сумарна трудомісткість виконання процесів, чол.-змін;

$$N_k = \frac{140}{3,4} = 41,9 \text{ т/чол - змін.}$$

Комплексна розцінка на виїмку 1 т:

$$P = \frac{\Sigma 3}{D_u}, \text{ грн/т,} \quad (2.40)$$

де  $\Sigma Z$  – сумарна заробітна плата, грн;

$$P = \frac{641,26}{140} = 4,58 \text{ грн/т.}$$

Явочний склад робітників-відрядників (ГРОВ у зміни з видобутку):

$$N_a = \frac{\Delta_{\text{доб}}}{N_k \cdot k_{\text{пер}}}, \text{ чол.,} \quad (2.41)$$

де  $k_{\text{пер}}$  – плановий коефіцієнт перевиконання норми виробітку;

$$N_a = \frac{560}{41,9 \cdot 1,04} = 18 \text{ чол.}$$

Чисельність робітників по технічному обслуговуванню і ремонту устаткування очисного вибою в ремонтно-підготовчу зміну визначимо згідно з [11]:

1. Для комплексу МДМ і планового видобутку 560 т/добу таблична норма часу складе 49,4 чол.-годин (табл. 1, п 1);

2. Поправочні коефіцієнти до табличної норми часу, що враховують:

- зміна довжини очисного вибою – 2,21 чол.-годин · 2 = 4,42 чол. годин;
- кількість приводних голівок конвеєра – 1,07 чол.-годин;
- ступінь стійкості бічних порід – 0,85;

3. скоректована таблична норма часу складе:  $(49,4 + 4,42 - 1,07) \cdot 0,85 = 44,84$ .

4. Трудомісткість робіт МГВМ 6 розряду складе 6 чол.-год. або 1 чол.-зм.

5. Трудомісткість ГРОВ 5 розряду складе:  $44,84 - 6 = 38,84$  чол.-год. або 7,47 чол.-зм.

Чисельність електрослюсарів на ділянці визначимо по [11]. Ремонтну складність устаткування визначимо в табл. 2.4.

Нормативна явочна чисельність електрослюсарів:

$$H_u = \Sigma T_{\text{оп}} \frac{K_1 \cdot K_2 \cdot K_3}{357 \cdot t_{\text{зм}}}, \text{ чол.-змін,} \quad (2.42)$$

де  $\Sigma T_{\text{оп}}$  – сумарна річна нормативна трудомісткість планового технічного обслуговування і ремонту устаткування;

$K_1$  – коефіцієнт, що враховує пайову участь дільничних електрослюсарів у технічному огляді і ремонті устаткування,  $K_1 = 0,6$ ;

$K_2$  – коефіцієнт, що враховує технічне обслуговування і ремонт електропускової і захисної апаратури і гнучких кабелів,  $K_2 = 1,2$ ;

$K_3$  – коефіцієнт, що враховує непланові ремонти устаткування, виконувані ремонтними і черговими електрослюсарями ділянки,  $K_3 = 1,3$ ;

$t_{\text{зм}}$  – тривалість робочої зміни на підземних роботах,  $t_{\text{зм}} = 6$  годин;

Таблиця 2.4 – Ремонтна складність устаткування очисного вибою

Найменування обладнання	Вид обладнання	Кількість в роботі	Нормативна трудомісткість Тор, чол.-годин		Обгрунтування
			на од.	на все	
в лаві					
Комбайн	1К 103М	1	2232	2232	ЕНЧ-1995
Мехкріплення	ДМ	133	18,4	2447	
Конвеер скребковий	СП 202	1	1388	1388	
Кріплення сполучень	УКС	2	171	342	
Перевантажувач	ПС	1	1183	1183	
Коефіцієнти				1,1	
Усього				8351	
в інших виробках					
Конвеер стрічковий	2ЛТ-100У	1	4124	4124	ЕНЧ-1995
Насосна станція	СНТ-32	2	1681	3362	
Лебідка	ЛВД-34	3	186	558	
Трубопровід, км		1,3	115	150	
Дорога на підошві	ДКН4-2	1	995	995	
Усього				9189	
Разом				17540	

$$H_u = 17540 \cdot \frac{0,6 \cdot 1,2 \cdot 1,3}{357 \cdot 6} = 8,2 \text{ чол. - змін.}$$

Для подальших розрахунків приймаємо:

- ГРОВ у ремонтно-підготовчу зміну – 7 чол.;
- електрослюсарів – 8 чол.

Обліковий склад:

$$\Psi_{ob} = N_{yb} \cdot k_{ob}, \text{ чол.}, \quad (2.43)$$

де  $k_{ob}$  – коефіцієнт облікового складу;

Обліковий склад робітників-відрядників:

$$\Psi_{ob} = 18 \cdot 1,92 = 34 \text{ чол.}$$

Обліковий склад ГРОВ у ремонтно-підготовчу зміну:

$$\Psi_{ob} = 7 \cdot 1,92 = 13 \text{ чол.}$$

Обліковий склад електрослюсарів:

$$\Psi_{ob} = 8 \cdot 1,65 = 13 \text{ чол.}$$

Чисельність інженерно-технічних робітників встановлюємо відповідно до затвердженої структури роботи ділянки:

- начальник ділянки – 1 чол.;
- заступник начальника – 1 чол.;
- помічник начальника – 1 чол.;
- механік ділянки – 1 чол.;
- гірничий майстер – 6 чол.

#### **2.4.2 Паспорт проведення та кріplення ярусного конвеєрного штреку пл. $\ell_6^b$**

У зв'язку з тим, що коефіцієнт міцності присікаємих порід не перевищує 4 (по шкалі проф. Протод'яконова М.М.), то для проведення виробки приймаємо комбайнний спосіб. Для механізації робіт приймаємо комбайн КСП 33.

Відбита гірнича маса буде перевантажуватися на скребковий перевантажувач ПТК-3У і потім транспортуватися стрічковим конвеєром 2ЛТ 100У.

Доставка допоміжних матеріалів і обладнання буде здійснюватися у вагонетках ВГ-1,6-600 та на платформах шахтних ПТО 600-20. Виробка обладнується одноколійним рейковим шляхом. Ширина колії – 600 мм, рейки Р-24 на дерев'яних шпалах (прийнято згідно з [14]).

Виходячи з прийнятої технологічної схеми проведення, необхідної величини випередження очисних робіт підготовчими (див. п. 2.3.1.4), приймаємо місячне посування підготовчого вибою  $V = 180$  м. Тоді добове посування складе:

$$V_{\text{доб}} = \frac{V_{\text{міс}}}{n_{\text{п.д}}}, \text{ м/доб,} \quad (2.45)$$

де  $n_{\text{п.д.}}$  – кількість робочих днів за місяць;

$$V_{\text{доб}} = \frac{180}{25} = 7,2 \text{ м/добу.}$$

Проведемо вибір форми і поперечного перерізу виробки, типу кріплення.

Так як над вугільним пластом залягає пласт вапняку потужністю 0,9 м та міцністю 8, то виробку доцільно проводити трапецієвидної форми.

Для визначення площини поперечного перерізу виробки у світлі визначимо мінімальну ширину виробки на висоті пересувного составу:

$$B = m + a + p + b + n, \text{ м,} \quad (2.46)$$

де  $m$  – зазор між кріпленням і конвеєром, м;

$a$  – ширина конвеєра, м;

$p$  – зазор між конвеєром і пересувним составом, м;

$b$  – ширина пересувного составу, м;

$n$  – зазор для проходу людей, м;

$$n = 0,7 + (1,8 - h - h_p) \cdot \operatorname{ctg} \beta, \text{ м,} \quad (2.47)$$

де 0,7 – ширина проходу для людей на висоті 1,8 м від рівня баласту (від підошви виробки), м;

$h$  – висота пересувного составу, м;

$h_p$  – відстань від підошви виробки до рівня головки рейки, м;

$\beta$  – кут нахилу стійок кріплення до горизонтальної плоскості, град;

$$n = 0,7 + (1,8 - 1,3 - 0,19) \cdot \operatorname{ctg} 80^\circ = 0,75 \text{ м};$$

$$B = 0,4 + 1,4 + 0,4 + 1,32 + 0,75 = 4,27 \text{ м.}$$

Ширина виробки у світлі по баласту:

$$\ell_0 = B + 2(h_p + h) \cdot \operatorname{ctg} \beta, \text{ м; } \quad (2.48)$$

$$\ell_0 = 4,27 + 2(1,3 + 0,19) \cdot \operatorname{ctg} 80^\circ = 4,8 \text{ м.}$$

Ширина виробки у світлі по верхняку:

$$\ell_B = B - 2(h_1 - h) \cdot \operatorname{ctg} \beta, \text{ м, } \quad (2.49)$$

де  $h_1$  – висота виробки у світлі від головки рейки до верхняку. Згідно [12]  $h_1 \geq 2,2$  м.

$$\ell_B = 4,3 - 2(2,5 - 1,3) \cdot \operatorname{ctg} 80^\circ = 3,9 \text{ м.}$$

Висота похилу від рівня баласту до верхняку:

$$h_B = h_1 + h_p, \text{ м, } \quad (2.50)$$

$$h_B = 2,5 + 0,19 = 2,69 \text{ м.}$$

Площа поперечного перерізу виробки у світлі:

$$S_{cb} = \frac{l_0 + l_B}{2} \cdot h_B, \text{ м}^2; \quad (2.51)$$

$$S_{cb} = \frac{4,8 + 3,9}{2} \cdot 2,69 = 11,7 \text{ м}^2.$$

Вибір кріплення проводимо згідно інструкції [15].

Для вибору основного кріплення визначимо зміщення порід покрівлі:

$$U_{kp} = U + k_{kp} \cdot k_s \cdot k_k \cdot U_1, \text{ мм, } \quad (2.52)$$

де  $U$  – зміщення порід покрівлі в період її служби до впливу очисних робіт, мм;

$$U = k_a \cdot k_\theta \cdot k_s^l \cdot k_b \cdot k_t U_t, \text{мм}, \quad (2.53)$$

де  $k_a$  – коефіцієнт впливу кута падіння порід і напрямку проходки виробки відносно простягання порід;

$k_\theta$  – коефіцієнт напрямку зміщення порід;

$k_s^l$  – коефіцієнт впливу розмірів виробки;

$k_b$  – коефіцієнт впливу інших виробок;

$k_t$  – коефіцієнт впливу часу на зміщення порід;

$U_t$  – зміщення порід, прийняте за типове, мм;

$k_{kp}$  – коефіцієнт впливу класу покрівлі по обвалиованості;

$k_s$  – коефіцієнт, що враховує вплив площин перетину виробки у світлі;

$k_k$  – коефіцієнт, що характеризує долю зміщень порід покрівлі в загальних зміщеннях;

$U_1$  – зміщення порід в зоні тимчасового опорного тиску очисного вибою, мм;

$$U = 0,85 \cdot 0,45 \cdot 0,4 \cdot 1 \cdot 0,9 \cdot 300 = 41 \text{ мм};$$

$$U_{kp} = 41 + 1 \cdot 1,1 \cdot 0,4 \cdot 380 = 208 \text{ мм.}$$

Розрахункове навантаження на основне кріплення:

$$P = k_p \cdot k_n \cdot k_{pr} \cdot b \cdot P^h, \text{kH/m}, \quad (2.54)$$

де  $k_p$  – коефіцієнт перевантаження;

$k_n$  – коефіцієнт надійності;

$k_{pr}$  – коефіцієнт умов проведення виробки;

$b$  – ширина виробки в прохідці, м;

$P^h$  – нормативне навантаження;

$$P = 1,1 \cdot 1 \cdot 1 \cdot 5,1 \cdot 70 = 393 \text{ kH/m.}$$

Щільність встановлення основного кріплення:

$$n = \frac{P}{N_s}, \text{рам/м}, \quad (2.55)$$

де  $N_s$  – несуча спроможність кріплення, кН.

В якості кріплення приймаємо кріплення металеве податливе трапецієвидне КМП-Т(К) зі спецпрофілю СВП-27.

$$n = \frac{393}{350} = 1,12 \text{ рам/м.}$$

Приймаємо відстань між рамами 0,8 м.

Сумарне навантаження на кріплення за весь час існування виробки:

$$U_{kp}^l = U_{kp} + (U_1 \cdot k_k + m \cdot k_{oxp}) \cdot k_s \cdot k_{kp}, \text{мм}, \quad (2.56)$$

де  $m$  – віймальна потужність пласти, мм;

$k_{oxp}$  – коефіцієнт, що враховує вплив податливості штучних огорожень на опускання покрівлі;

$$U_{kp}^l = 208 + (380 \cdot 0,4 + 850 \cdot 0,1) \cdot 1,1 \cdot 1 = 542 \text{ мм.}$$

Сумарне навантаження на основне кріплення і кріплення посилення:

$$P = 1,1 \cdot 1 \cdot 1 \cdot 5,1 \cdot 100 = 561 \text{ кН/м.}$$

В якості кріплення посилення приймаємо гідралічні стійки 17ГКУ 30.

Щільність встановлення кріплення посилення в зоні впливу лав:

$$n_1 \geq \frac{P - n \cdot N_s}{N_{s1}}, \text{ст/м,} \quad (2.57)$$

де  $n$ ,  $N_s$  – відповідно щільність, рам/м, і несуча спроможність основного кріплення, кН;

$N_{s1}$  – несуча спроможність засобів посилення, кН;

$$n_1 \geq \frac{561 - 1 \cdot 450}{300} = 0,37 \text{ ст/м.}$$

Встановлюємо одну стійку посилення через одну раму основного кріплення. Тип кріплення по податливості:

$$\Delta \geq k_{oc} \cdot k_{ank} \cdot k_{yc} \cdot U_{kp}^l, \text{мм,} \quad (2.58)$$

де  $k_{oc}$ ,  $k_{ank}$ ,  $k_{yc}$  – відповідно коефіцієнти, що залежать від щільності встановлення рамного, анкерного та кріплення посилення;

$$\Delta \geq 1 \cdot 1 \cdot 0,7 \cdot 542 = 363 \text{ мм.}$$

Остаточно приймаємо кріплення металеве податливе трапецієвидне КМП-Т(К) з спецпрофілю СВП-27 (податливість 800 мм). В якості кріплення посилення приймаємо гідралічні стійки 17ГКУ 30, встановлюємі через одну раму основного кріплення.

Протяжність встановлення кріплення посилення:

$\zeta_1$  – ділянка кріплення попереду першого вибою = 30 м;

$\zeta_2$  – ділянка кріплення позаду першого вибою = 65 м;

$\zeta_3$  – ділянка кріплення попереду другого вибою = 40 м.

Розрахунок комплексної виробки і розцінки проводимо згідно [16] і вносимо в табл. 2.5.

Таблиця 2.5 – Розрахунок комплексної норми виробки та розцінки в проходнишкому вибої

Вид робіт	Норма виробки	
	Одиниця вимірювання за збірником	коєфіцієнт за збірником
Обсяг робіт на зміну, м	Потрібна кількість чол.-змін на 1 м	Потрібна кількість чол.-змін
Потрібна кількість чол.-змін	Тарифна ставка, грн.	Розцінка за 1 м, грн.
Обґрунтування для встановлення норми виробки	табл. 3, п. 85 д	

Проведення виробки комбайном КСП 33	м	0,51	0,97	0,49	3	2,05	6,15	197,9	табл. 3, п. 85 д
машиніст гірничих виймальних машин VI розряду					3	0,5	1,5	2229,8	1153,94
прохідник V розряду					3	1,55	4,65	1897,6	1413,96

Об'єм робіт по нормі на проведення виробки комбайном:

$$Q = N \cdot k, \text{ м}, \quad (2.59)$$

де  $N$  – змінна норма виробки на бригаду, м ( $N = 2,06$  (§ 1, табл. 3, п. 85 д));  
 $k$  – коефіцієнт за збірником;

$$Q = 2,06 \cdot 0,97 = 2,0 \text{ м.}$$

Змінний об'єм на 1 чоловіка:

$$Q_{1\text{ч}} = \frac{N}{T}, \text{ м}, \quad (2.60)$$

де  $T$  – змінна нормативна трудомісткість, чол.-змін, м ( $T = 4,06$  чол.-змін (§ 1, табл. 3, п. 85 е));

$$Q_{1\text{ч}} = \frac{2,06}{4,06} = 0,51 \text{ м.}$$

Змінний об'єм на 1 чоловіка з урахуванням поправочного коефіцієнту:

$$Q_{3\text{м}} = Q_{1\text{ч}} \cdot k, \text{ м}; \quad (2.61)$$

$$Q_{3\text{м}} = 0,51 \cdot 0,97 = 0,49 \text{ м.}$$

Трудомісткість на зміну:

$$T_{3\text{м}} = \frac{Q}{Q_{3\text{м}}}, \text{ чол. - зм}; \quad (2.62)$$

$$T_{3\text{м}} = \frac{2,0}{0,49} = 4,1 \text{ чол. - зм.}$$

Трудомісткість проведення 1 м по розрядам професій робітників:

а) машиніст гірничих виймальних машин VI розряду:

$$T_{МГВМ} = \frac{1}{Q}, \text{ чол. - зм}; \quad (2.63)$$

$$T_{МГВМ} = \frac{1}{2,0} = 0,5 \text{ чол. - зм};$$

б) прохідник V розряду:

$$T_{\text{ПРОХ}} = \frac{(T_{\text{ЗМ}} - 1)}{Q}, \text{ чол.} - \text{ЗМ}; \quad (2.64)$$

$$T_{\text{ПРОХ}} = \frac{(4,1 - 1)}{2,0} = 1,55 \text{ чол.} - \text{ЗМ.}$$

Приймаємо явочну кількість у зміну МГВМ VI розряду 1 чол., прохідників V розряду – 4 чол.

Чисельність робітників по технічному обслуговуванню і ремонту устаткування в ремонтно-підготовчу зміну визначимо згідно з [11] в табл. 2.6.

Таблиця 2.6 – Розрахунок ремонтної складності обладнання

№ п/п	Вид обладнання	Найменування обладнання	Кількість в роботі	Ремонтна складність, чол-год		Обґрунту- вання
				на од.	на все	
1	Комбайн	КСП 33	1	1660	1660	ЕНВ-06
2	Перевантажувач	ПТК-3У	1	1183	1183	
3	Стрічковий конвеєр	2Л100У	1	4311	4311	
4	Дорога напочвенна	ДКН4-2	1	995	995	
5	Лебідка	ЛВД 34	1	186	186	
6	Трубопроводи		1,7	135	202	
7	Вентилятор	ВМП	1	42	42	
8	Коефіцієнт				1	
9	Усього				8579	
10	Коефіцієнт К1				0,6	
11	Коефіцієнт К2				1,2	
12	Коефіцієнт К3				1,3	
13	Нормативна явочна чисельність				4	

Остаточно приймаємо явочну кількість робітників за добу:

- МГВМ VI розряду – 4 чол.;
- прохідників V розряду – 12 чол.;
- слюсарів – 4 чол.

Обліковий склад:

$$\Psi_{\text{об}} = N_{\text{яв}} \cdot k_{\text{об}}, \text{ чол.}, \quad (2.65)$$

де  $k_{\text{об}}$  – коефіцієнт облікового складу;

Обліковий склад МГВМ VI розряду:

$$\Psi_{\text{об}} = 4 \cdot 1,59 = 6 \text{ чол.}$$

Обліковий склад прохідників V розряду:

$$\mathbf{Ч}_{\text{об}} = 12 \cdot 1,59 = 19 \text{ чол.}$$

Обліковий склад електрослюсарів:

$$\mathbf{Ч}_{\text{об}} = 4 \cdot 1,417 = 6 \text{ чол.}$$

Чисельність інженерно-технічних робітників встановлюємо відповідно до затвердженої структури роботи ділянки:

- начальник ділянки – 1 чол.;
- заступник начальника – 1 чол.;
- помічник начальника – 1 чол.;
- механік ділянки – 1 чол.;
- гірничий майстер – 6 чол.

Розробка графіку організації робіт.

Розробку графіку проводимо згідно з [18]. Для будови лінійного графіку організації процесу комбайнового виймання розраховуємо поопераційно трудомісткість і тривалість робіт, а також час, що відкладемо на графіку. Результати розрахунків зводимо в табл. 2.7.

#### **2.4.3 Транспорт вугілля, породи, матеріалів і обладнання, перевезення людей на дільниці**

Доставка вугілля по лаві пласта І<sub>6</sub> здійснюється скребковим конвеєром СП 202, що входить до складу комплексу МДМ.

Розрахунковий вантажопотік визначимо згідно з [19]:

$$Q_p = \frac{Q_{\text{доб}} \cdot k_h}{3 \cdot t_{3M} \cdot k_m}, \text{ т/год.}, \quad (2.66)$$

де  $Q_{\text{доб}}$  – добова продуктивність вибою, т/доб.;

$k_h$  – коефіцієнт нерівномірності вантажопотоку ( $k_h = 1,5$  [19]);

$t_{3M}$  – тривалість зміни, год.;

$k_m$  – коефіцієнт машинного часу ( $k_m = 0,8$  [19]);

$$Q_p = \frac{560 \cdot 1,5}{3 \cdot 6 \cdot 0,8} = 122 \text{ т/год.}$$

Вибір типу стрічкового конвеєра робимо по 2 параметрам:

1 максимальний величині вантажопотоку;

2 припустимій довжині конвеєра.

Виходячи з умови:

$$Q_p \leq Q_t, \text{ т/год} \quad (2.67)$$

Таблиця 2.7 – Технологічні параметри процесу комбайнового виймання гірничих порід

Найменування операцій	Об'єм робіт		Число робітників, чол.		Трудомісткість по процесам (операціям), ч.п.хв.		Тривалість процесів (операцій), хв.		Обґрунтування (ЕНВ, розділ 2)
	од. вим.	на цикл	на цикл	на цикл	на цикл	на цикл	на цикл	на цикл	
ПЗО			5	5	129	25,8	18,1	§ 2, табл. 50	
Усушення мілких несправностей	M	0,8	1	140,28 · 1 = 140,28	140,28 · 3 = 420,84	70,24 · 1 = 70,24	70,24 · 3 = 210,7	§ 2, табл. 51	
Підкідка гірничої маси, расплитовка, підтягування і підвіска кабеля	M	0,8	1	58,62 · 1 = 58,62	58,62 · 3 = 175,86	18,5 · 1 = 18,5	18,5 · 3 = 55,5	§ 2, табл. 51	
Зачистка за комбайном	M	0,8	1	15,0 · 1 = 15,0	15,0 · 3 = 45,0	6,8 · 1 = 6,8	6,8 · 1 = 20,4	§ 2, табл. 51	
Отведення і проробка во	M	0,8	1	10,72 · 1 = 10,72	10,72 · 3 = 32,16	7,69 · 1 = 7,69	7,69 · 3 = 23,1	§ 2, табл. 51	
Огляд і заміна зубків, перевірка напрямку виробки	M	0,8	2	9,34 · 1 = 9,34	9,34 · 3 = 28,02	5,62 · 1 = 5,62	5,62 · 3 = 16,8	§ 2, табл. 51	
Встановлення і пересування запобіжного кріплення	M	0,8	1	6,3 · 1 = 6,3	6,3 · 3 = 18,9	2,9 · 1 = 2,9	2,9 · 3 = 8,7	§ 2, табл. 51	
Кріплення	M	0,8	2-5	145,1 · 1 = 145,1	145,1 · 3 = 435,3	93,7	281,2	§ 2, табл. 52	
Нарочування конвеєру	M	0,8	3	69,6 · 1 = 69,6	69,6 · 3 = 208,8	25,2 · 1 = 25,2	25,2 / 3 = 8,4	§ 2, табл. 52	
Нарочування вент. трубопроводу	M	0,8	2	3,54 · 1 = 3,54	3,54 · 3 = 10,62	-	10,62 / 2 = 5,3	§ 2, табл. 52	
Нарочування рейкового шляху	M	0,8	2-5	44,27 · 1 = 44,27	44,27 · 3 = 132,81	-	132,81 / 5 = 26,5	§ 34, табл. 132	
Усього				495	2486				

де  $Q_t$  – теоретична продуктивність конвеєра, т/год.

По графікам застосовності [19] робимо вибір стрічкового конвеєра: для заданих умов підходить конвеєр 2ЛТ 100У, тому що при необхідній його довжині  $L = 1500$  м і куті нахилу  $\beta = 0^\circ$   $Q_p = 122 < Q_t = 200$  т/год.

Графік застосовності представлено на рис. 2.4.

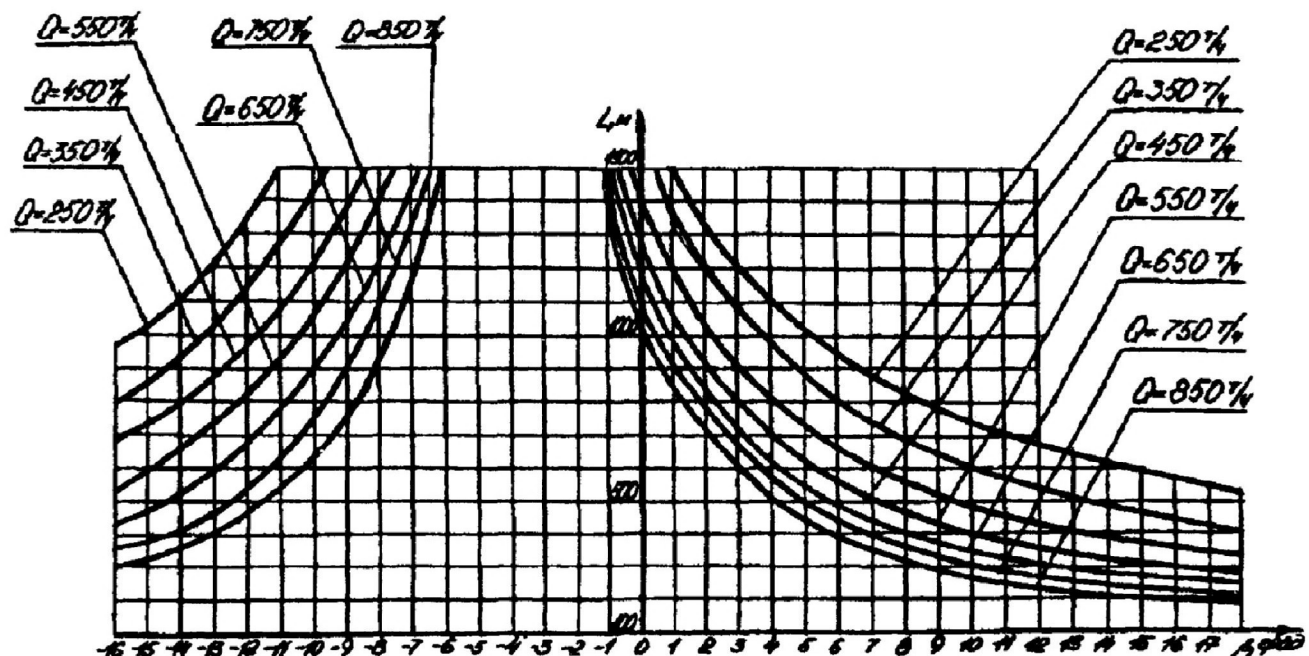


Рисунок 2.4 – Графік застосовності конвеєру 2ЛТ 100У

Для перевантаження гірничої маси з забійного конвеєра СП 202 на стрічковий 2ЛТ 100У приймаємо перевантажувач скребковий ПС, що входить до складу мехкомплексу МДМ [2].

Перевірку перевантажувача робимо за умовою 2.66:

$$Q_p = 122 < Q_t = 700 \text{ т/год.}$$

Для транспортування гірничої маси з проходницьких вибоїв приймаємо конвеєр стрічковий 2ЛТ 100У. Розрахунковий вантажопотік складе:

$$Q_p = \frac{380 \cdot 1,5}{3 \cdot 6 \cdot 0,8} = 39 \text{ т/год.}$$

## 2.4.4 Провітрювання дільниці

### 2.4.4.1 Вибір схеми провітрювання виймальної дільниці

Розробляємий пласт –  $\ell_6^B$ , спосіб підготовки пласта – панельний; система розробки – стовпова з відробкою виймальних стовпів по простяганню і зворотноточним провітрюванням; кількість панелей – 2; кількість лав в панелі – 2; всього кількість лав – 4; кількість підготовчих вибоїв в панелі – 2; всього кількість підготовчих вибоїв – 4; механізація очисних робіт – комплекс МДМ; навантаження на лаву – 560 т/добу; спосіб проведення виробок – комбайновий. Виходячи з вищесказаного, відповідно до [22], приймаємо схему провітрювання виймальних дільниць типу 1-М-Н-в-вт.

### 2.4.4.2 Розрахунок абсолютної метанообільності виймальної дільниці і очисного вибою по пл. $\ell_6^B$

Провітрювання ділянки здійснюється по схемі 1-М, тому  $I_{\text{діл}} = I_{\text{оч}}$ :

$$I_{\text{діл}} = I_{\text{оч}} = \frac{A_{\text{оч}} \cdot q_{\text{діл}}}{1440}, \text{ м}^3/\text{хв}, \quad (2.68)$$

де  $A_{\text{оч}}$  – середньодобовий видобуток з очисної виробки, т/добу;

$q_{\text{оч}}$  – очікуване метановіденення з очисної виробки,  $\text{м}^3/\text{т}$ .

$$I_{\text{діл}} = I_{\text{оч}} = \frac{560 \cdot 10,8}{1440} = 4,2 \text{ м}^3/\text{хв}.$$

Визначимо необхідність проведення дегазації. Критерієм, що визначає необхідність проведення дегазації, є підвищення метанообільності виробок понад припустиму по фактору вентиляції  $I_p$ :

$$I_{\text{оч(діл)}} > I_p = \frac{0,6 \cdot V_{\max} \cdot S_{\min} \cdot c}{k_h}, \text{ м}^3/\text{хв}, \quad (2.69)$$

де  $V_{\max}$  – максимальна припустима по ПБ швидкість руху повітря в лаві,  $\text{м}/\text{с}$ ;

$k_h$  – коефіцієнт нерівномірності метановиділення в лаві (з табл. 6.3 [22]);

$c$  – припустима по ПБ максимальна концентрація метану у вихідному з лави струмені повітря, %;

$S_{\min}$  – мінімальна площа перетину лави,  $\text{м}^2$ ;

$$S_{\min} = k_{03} \cdot S_{\text{оч},\min}, \text{ м}^2, \quad (2.70)$$

де  $k_{03}$  – коефіцієнт, що враховує рух повітря по частині виробленого простору, що безпосередньо прилягає до при вибійного (з табл. 6.4 [22]).

$$S_{\min} = 1,25 \cdot 1,9 = 2,4 \text{ м}^2;$$

$$I_p = \frac{0,6 \cdot 4 \cdot 2,4 \cdot 0,95}{1,9} = 2,9 \text{ м}^3/\text{хв};$$

$$I_{\text{оч (діл)}} = 4,2 \text{ м}^3/\text{хв} < I_p = 2,9 \text{ м}^3/\text{хв}.$$

Отже, необхідно проводити дегазацію.

Проводимо наступні способи дегазації:

дегазація свердловинами, пробуреними по пласту з підготовчих виробок  $k_{\text{дег}} = 0,45$ ;

дегазація пласта-супутника свердловинами, пробуреними з підготовчих виробок  $k_{\text{дег}} = 0,2-0,5$ ;

відсос газу з виробленого простору  $k_{\text{дег}} = 0,3-0,7$ .

Визначимо очікуване метановиділення з очисної виробки і виймальної ділянки:

$$q_{\text{оч}} = (q_{\text{o.p}} + q_{\text{o.y}}^{\perp} + q_{\text{o.y}}^{\parallel}) \cdot (1 - k_{\text{д.пл}}) + k_{\text{в.п}} \cdot q_{\text{в.п}}^{\perp}, \text{ м}^3/\text{т}; \quad (2.71)$$

$$q_{\text{діл}} = (q_{\text{o.p}} + q_{\text{o.y}}) \cdot (1 - k_{\text{д.пл}}) + q_{\text{в.п}}^{\perp}, \text{ м}^3/\text{т}, \quad (2.72)$$

де  $k_{\text{д.пл}}$  – коефіцієнт ефективності дегазації розроблюємого пласта, частки од;

$k_{\text{в.п}}$  – коефіцієнт, що враховує метановиділення з виробленого простору в при вибійний, частки од;

$q_{\text{в.п}}^{\perp}$  – очікуване метановиділення з виробленого простору на виймальній ділянці,  $\text{м}^3/\text{т}$ ;

$$\begin{aligned} q_{\text{в.п}}^{\perp} = & [k_{\text{e.p}} (X - X_0) \cdot (1 - k_{\text{д.пл}}) + (\sum q_{\text{сп.п}} + q_{\text{пор}}) \cdot \\ & \cdot (1 - k_{\text{д.сп}}) + \sum q_{\text{сп.н}} (1 - k_{\text{д.сп}})] \cdot (1 - k_{\text{д.вп}}^{\perp}) \cdot (1 - k_{\text{д.в.о}}), \text{ м}^3/\text{т}; \end{aligned} \quad (2.73)$$

де  $k_{\text{д.сп}}$ ,  $k_{\text{д.сп}}$ ,  $k_{\text{д.в.о}}$ ,  $k_{\text{д.вп}}^{\perp}$  – коефіцієнти, що враховують ефективність дегазації зближених пластів і порід, що надроблюються; зближених пластів, що підроблюються; виробленого простору та ефективність ізольованого відводу метану відповідно, частки од;

$$\begin{aligned} q_{\text{в.п}}^{\perp} = & [0,03 \cdot (9,8 - 4,5) \cdot (1 - 0,45) + (6,5 + 1,4) \cdot \\ & \cdot (1 - 0,3) + 0 \cdot (1 - 0)] \cdot (1 - 0,5) \cdot (1 - 0,5) = 0,7 \text{ м}^3/\text{т}; \end{aligned}$$

$$q_{\text{оч}} = (1,3 + 0,9 + 0,5) \cdot (1 - 0,45) + 1 \cdot 0,7 = 2,5 \text{ м}^3/\text{т};$$

$$q_{\text{діл}} = (1,3 + 1,4) \cdot (1 - 0,45) + 0,7 = 2,2 \text{ м}^3/\text{т};$$

$$I_{\text{діл}} = I_{\text{оч}} = \frac{560 \cdot 2,2}{1440} = 0,8 \text{ м}^3/\text{хв};$$

$$I_p = \frac{0,6 \cdot 4 \cdot 2,4 \cdot 0,95}{1,95} = 2,8 \text{ м}^3/\text{xв};$$

$$I_{\text{оч (діл)}} = 0,8 \text{ м}^3/\text{xв} < I_p = 2,8 \text{ м}^3/\text{xв}.$$

Отже, дегазація ефективна.

#### 2.4.4.3 Розрахунок кількості повітря для провітрювання виймальної дільниці пл. $\ell_6^{\text{B}}$

Розрахунок витрат повітря, необхідного для провітрювання очисної виробки по виділенню метану:

$$Q_{\text{оч}} = \frac{Q_{\text{діл}} \cdot k_{\text{o3}}}{k_{\text{ут.в}}}, \text{ м}^3/\text{xв}, \quad (2.74)$$

де  $Q_{\text{діл}}$  – витрати повітря для провітрювання виймальної дільниці,  $\text{м}^3/\text{xв.}$ ;

$k_{\text{o3}}$  – коефіцієнт, що враховує рух повітря по частині виробленого простору, що безпосередньо прилягає до привибійного простору (приймаємо по табл. 6.4 [22]);

$k_{\text{ут.в}}$  – коефіцієнт, який враховує втрати повітря через вироблений простір в межах виймальної дільниці, (приймаємо по монографії 6.13 [22]);

$$Q_{\text{діл}} = \frac{100 \cdot I_{\text{діл}} \cdot k_{\text{н}}}{C - C_o}, \text{ м}^3/\text{xв}, \quad (2.75)$$

де  $k_{\text{н}}$  – коефіцієнт нерівномірності виділення газу, частки од.;

$C$  – припустима згідно ПБ концентрація газу у вихідному з очисної виробки вентиляційному струмені, %;

$C_o$  – концентрація газу у вентиляційному струмені, що надходить на виймальну ділянку, %;

$$Q_{\text{діл}} = \frac{100 \cdot 0,8 \cdot 2,85}{1 - 0,05} = 240 \text{ м}^3/\text{xв};$$

$$Q_{\text{оч}} = \frac{240 \cdot 1,25}{1,5} = 200 \text{ м}^3 / \text{xв.}$$

Розрахунок витрати повітря по газах, що утворюються при вибухових роботах, не виконуємо через їх відсутність.

Розрахунок кількості повітря по числу людей:

$$Q_{\text{оч}} = 6 \cdot n_{\text{чол}} \cdot k_{\text{o3}}, \text{ м}^3/\text{xв}, \quad (2.76)$$

де  $n_{\text{чол}}$  – найбільша кількість людей, що одночасно працюють у очисній виробці, чол.;

$$Q_{\text{оч}} = 6 \cdot 15 \cdot 1,25 = 112 \text{ м}^3/\text{хв.}$$

Розрахунок витрати повітря з умови оптимальної швидкості повітря по пиловому фактору:

$$Q_{\text{оч}} = 60 \cdot S_{\text{оч min}} \cdot V_{\text{оч}} \cdot k_{\text{o3}}, \text{ м}^3/\text{хв}, \quad (2.77)$$

де  $S_{\text{оч min}}$  – мінімальна площа поперечного перерізу привибійного простору очисної виробки у світлі,  $\text{м}^2$  (приймаємо по табл. 6.5 [22]);

$V_{\text{оч}}$  – оптимальна швидкість повітря в привибійному просторі лави,  $\text{м}/\text{с}$ ;

$$Q_{\text{оч}} = 60 \cdot 1,9 \cdot 1,6 \cdot 1,25 = 228 \text{ м}^3/\text{хв.}$$

Приймаємо  $Q_{\text{оч}} = 228 \text{ м}^3/\text{хв.}$

Перевірка витрат повітря по швидкості здійснюється по наступним факторам:

- по мінімальній швидкості повітря в очисній виробці:

$$Q_{\text{оч}} \geq Q_{\text{оч min}} \cdot k_{\text{o3}} = 60 \cdot S_{\text{оч max}} \cdot V_{\text{min}} \cdot k_{\text{o3}}, \text{ м}^3/\text{хв}, \quad (2.78)$$

де  $V_{\text{min}}$  – мінімально припустима швидкість повітря в очисній виробці згідно ПБ,  $\text{м}/\text{с}$ ;

$S_{\text{оч max}}$  – максимальна площа поперечного перерізу привибійного простору очисної виробки у світлі,  $\text{м}^2$  (приймаємо по табл. 6.5 [22]);

$$228 > 60 \cdot 1,9 \cdot 0,25 \cdot 1,25 = 36 \text{ м}^3/\text{хв.}$$

Умова дотримується.

- по максимальній швидкості повітря в очисній виробці:

$$Q_{\text{оч}} \leq Q_{\text{оч max}} \cdot k_{\text{o3}} = 60 \cdot S_{\text{оч min}} \cdot V_{\text{max}} \cdot k_{\text{o3}}, \text{ м}^3/\text{хв}, \quad (2.79)$$

де  $V_{\text{max}}$  – максимально припустима швидкість повітря в очисній виробці згідно ПБ,  $\text{м}/\text{с}$ ;

$$228 < 60 \cdot 1,9 \cdot 4 \cdot 1,25 = 570 \text{ м}^3/\text{хв.}$$

Умова дотримується.

Остаточно приймаємо  $Q_{\text{оч}} = 228 \text{ м}^3/\text{хв.}$

Перевіримо витрати повітря для провітрювання виймальної дільниці по максимальній швидкості повітря:

$$Q_{\text{діл}} \leq Q_{\text{оч max}} \cdot k_{\text{ут.в}} = 60 \cdot S_{\text{оч min}} \cdot V_{\text{max}} \cdot k_{\text{ут.в}}, \text{ м}^3/\text{хв}, \quad (2.80)$$

$$Q_{\text{діл}} = 240 \leq 60 \cdot 1,9 \cdot 4 \cdot 1,5 = 684 \text{ м}^3/\text{хв.}$$

Умова дотримується.

Витрати повітря, що перевіряється по кількості людей, повинна задовольняти умові:

$$Q_{\text{діл}} \geq 6 \cdot n_{\text{чол.}}, \text{ м}^3/\text{хв}, \quad (2.81)$$

де  $n_{\text{чол.}}$  – максимальна кількість людей, що одночасно працюють на виймальній ділянці, чол.;

$$240 > 6 \cdot 30 = 180 \text{ м}^3/\text{хв.}$$

Умова виконується.

Остаточно приймаємо  $Q_{\text{діл}} = 240 \text{ м}^3/\text{хв.}$

#### **2.4.4.4 Розрахунок максимально припустимого навантаження на очисний вибій по газовому фактору**

$$A_{\max} = A_p \cdot I_p^{-1,67} \left[ \frac{Q_p \cdot (C - C_o)}{194} \right]^{1,93}, \text{ т/добу}, \quad (2.82)$$

де  $I_p$  – середня абсолютна метанообільність очисної виробки (приймаємо по табл. 7.1 [22]);

$Q_p$  – максимальна витрата повітря в очисній виробці, що може бути використане для розведення метану до припустимих ПБ норм,  $\text{м}^3/\text{хв}$  (приймаємо по табл. 7.1 [22]);

$$A_{\max} = 560 \cdot 2,8^{-1,67} \cdot \left[ \frac{684 \cdot (1 - 0,05)}{194} \right]^{1,93} = 1883 \text{ т/добу.}$$

#### **2.4.4.5 Розрахунок метанообільності, кількості повітря і вибір засобів провітрювання штреку пл. $\ell_6^B$**

Метановиділення в виробку, проведену по пласту:

$$I_n = I_{\text{пов 1}} + I_{\text{o.y.п.}}, \text{ м}^3/\text{хв.}, \quad (2.83)$$

$$I_{3,n} = I_{\text{пов 2}} + I_{\text{o.y.п.}}, \text{ м}^3/\text{хв.}, \quad (2.84)$$

де  $I_{\text{пов}}$  – метановиділення з нерухомих оголених поверхонь пласта,  $\text{м}^3/\text{хв.}$ ;

$$I_{\text{пов}} = 2,3 \cdot 10^{-2} \cdot m_n \cdot V_n \cdot (X - X_o) \cdot k_t, \text{ м}^3/\text{хв.}, \quad (2.85)$$

де  $V_n$  – проектна швидкість посування вибою тупикової виробки,  $\text{м}/\text{добу}$ ;

$k_t$  – коефіцієнт, що враховує зміну метановиділення в часі, частки од. (приймаємо по табл. 3.2 [22]).

$I_{o.y.\pi}$  – метановиділення з відбитого вугілля,  $m^3/xv.$ ;

$$I_{o.y.\pi} = j \cdot k_{ty} \cdot (X - X_0), m^3/xv., \quad (2.86)$$

де  $j$  – технічна продуктивність комбайну,  $t/xv.$  (приймаємо по табл. 3.3 [22]);  $k_{ty}$  – коефіцієнт, що враховує ступінь дегазації відбитого вугілля, дол. од.;

$$k_{ty} = a \cdot T_y^b, \quad (2.87)$$

де  $a, b$  – коефіцієнти, що характеризують газовіддачу з відбитого вугілля (при  $T_y \leq 6 xv$   $a = 0,052, b = 0,71$ , при  $T_y \geq 6 xv$   $a = 0,118, b = 0,25$ );

$T_y$  – час нахождення вугілля в привибійному просторі,  $xv.$ ;

$$T_y = \frac{S_{\text{вуг}} \cdot l_{\text{ц}} \cdot \gamma}{j}, xv; \quad (2.88)$$

де  $S_{\text{вуг}}$  – площа перетину виробки по вугіллю в проходці,  $m^2$ ;

$\gamma$  – посування вибою за цикл безперервної роботи комбайну,  $m$ ;

$$T_y = \frac{4,5 \cdot 0,8 \cdot 1,5}{1,0} = 5,4 xv;$$

$$k_{ty} = 0,118 \cdot 5,4^{0,25} = 0,2;$$

$$I_{o.y.\pi} = 1,0 \cdot 0,2 \cdot (9,8 - 4,5) = 1,1 m^3/xv;$$

$$I_{\text{пов } 1} = 2,3 \cdot 10^{-2} \cdot 0,85 \cdot 7,2 \cdot (9,8 - 4,5) \cdot 0,98 = 1,4 m^3/xv;$$

$$I_{\text{пов } 2} = 2,3 \cdot 10^{-2} \cdot 0,85 \cdot 7,2 \cdot (9,8 - 4,5) \cdot 0,13 = 0,6 m^3/xv;$$

$$I_{\pi} = 1,4 + 1,1 = 2,5 m^3/xv;$$

$$I_{3.\pi} = 0,6 + 1,1 = 1,7 m^3/xv.$$

#### 2.4.4.5.2 Розрахунок кількості повітря для провітрювання штрека пл. $l_6^b$

Розрахунок витрати повітря для виробки, яка проводиться комбайном:

$$Q_{3.\pi} = \frac{100 \cdot I_{3.\pi}}{C - C_0}, m^3 / xv, \quad (2.89)$$

$$Q_{3.\pi} = \frac{100 \cdot 1,7}{1 - 0,05} = 179 m^3 / xv.$$

Розрахунок витрати повітря по кількості людей:

$$Q_{3,\text{п}} = 6 \cdot n_{\text{чол}}, \text{ м}^3/\text{хв}; \quad (2.90)$$

$$Q_{3,\text{п}} = 6 \cdot 6 = 36 \text{ м}^3/\text{хв}.$$

Витрати повітря по мінімальній швидкості повітря у виробці:

$$Q_{3,\text{п}} = 60 \cdot V_{\text{п min}} \cdot S, \text{ м}^3/\text{хв}, \quad (2.91)$$

де  $V_{\text{п min}}$  – мінімально припустима згідно ПБ швидкість повітря в тупиковій виробці, м/с;

$$Q_{3,\text{п}} = 60 \cdot 0,25 \cdot 12,5 = 187 \text{ м}^3/\text{хв}.$$

Витрати повітря по мінімальній швидкості повітря в привибійному просторі тупикової виробки:

$$Q_{3,\text{п}} = 20 \cdot V_{\text{прив min}} \cdot S, \text{ м}^3/\text{хв}, \quad (2.92)$$

де  $V_{\text{прив min}}$  – мінімально припустима згідно ПБ швидкість повітря в привибійному просторі, м/с (при температурі 26°C та вологості 70 %  $V_{\text{прив min}} = 1 \text{ м/с}$ );

$$Q_{3,\text{п}} = 20 \cdot 1,0 \cdot 12,5 = 250 \text{ м}^3/\text{хв}.$$

Приймаємо  $Q_{3,\text{п}} = 250 \text{ м}^3/\text{хв}$ .

Витрати повітря для провітрювання усієї тупикової виробки по газовиділенню:

$$Q_{\text{п}} = \frac{100 \cdot I_{\text{п}} \cdot k_{\text{н,п}}}{C - C_0}, \text{ м}^3/\text{хв}, \quad (2.93)$$

де  $k_{\text{н,п}}$  – коефіцієнт нерівномірності газовиділення у тупиковій виробці;

$$Q_{\text{п}} = \frac{100 \cdot 2,5 \cdot 1}{1,0 - 0,05} = 263 \text{ м}^3 / \text{хв}.$$

Витрати повітря по кількості людей:

$$Q_{\text{п}} = 6 \cdot n_{\text{чол,н}}, \text{ м}^3/\text{хв}, \quad (2.94)$$

де  $n_{\text{чол,н}}$  – найбільша кількість людей, що одночасно працюють у виробці, чол.;

$$Q_{\text{п}} = 6 \cdot 8 = 48 \text{ м}^3/\text{хв}.$$

Повинна виконуватись умова:

$$Q_{\pi} \geq Q_{3,\pi} \cdot k_{yt,tr}, \text{ м}^3/\text{хв}; \quad (2.95)$$

де  $k_{yt,tr}$  – коефіцієнт витоків повітря у вентиляційних трубопроводах.

При проведенні виробки будемо застосовувати нагнітальний спосіб провітрювання. Для зменшення коефіцієнта витоків повітря та аеродинамічного опору гнучких трубопроводів застосовуємо комбінований трубопровід із гнучких труб типів 1А та 1Б та введеного усередину їх поліетиленового рукава і кінцевої ділянки трубопроводу без поліетиленового рукава.

$$k_{yt,tr} = k_{yt,tr1} \cdot k_{yt,tr2}, \quad (2.96)$$

де  $k_{yt,tr1}$  – коефіцієнт витоків повітря для кінцевої ділянки трубопроводу без поліетиленового рукава (приймаємо по табл. 5.4 [21]); довжина ділянки трубопроводу  $\zeta_{tr1} = 500$  м, діаметр  $d_{tr} = 0,8$  м,  $k_{yt,tr1} = 1,19$ ;

$k_{yt,tr2}$  – коефіцієнт витоків повітря для трубопроводу з поліетиленовим рукавом (приймаємо по табл. 5.6 [21]); довжина ділянки трубопроводу  $\zeta_{tr2} = 1000$  м, діаметр  $d_{tr} = 0,8$  м,  $k_{yt,tr2} = 1,03$ ;

$$k_{yt,tr} = 1,19 \cdot 1,03 = 1,22;$$

$$Q_{\pi} = 263 \geq 250 \cdot 1,22 = 305 \text{ м}^3/\text{хв}.$$

Умова не дотримується, тому приймаємо  $Q_{\pi} = 305 \text{ м}^3/\text{хв}$ .

#### 2.4.4.5.3 Вибір засобів провітрювання штреку пл. $\ell_6^{\text{в}}$

Визначимо аеродинамічний опір гнучкого комбінованого трубопроводу:

$$R_{tr,g} = r_{tr} \cdot (\zeta_{tr1} + 20 \cdot d_{tr1} \cdot n_1 + 10 \cdot d_{tr1} \cdot n_2) + \\ + r_{tr,k} \cdot (\zeta_{tr2} + 20 \cdot d_{tr2} \cdot n_1 + 10 \cdot d_{tr2} \cdot n_2), \text{ км}, \quad (2.97)$$

де  $r_{tr}$  – питомий аеродинамічний опір гнучкого вентиляційного трубопроводу без витоків повітря, км/м;

$\zeta_{tr1}$  – довжина кінцевої ділянки трубопроводу без поліетиленового рукава, м;

$d_{tr1}$  – діаметр кінцевої ділянки трубопроводу без поліетиленового рукава, м;

$n_1, n_2$  – число поворотів трубопроводів на  $90^\circ$  і  $45^\circ$  відповідно;

$r_{tr,k}$  – аеродинамічний опір 1 м трубопроводу з поліетиленовим рукавом, км/м;

$\zeta_{tr2}$  – довжина ділянки трубопроводу з поліетиленовим рукавом, м;

$d_{tr2}$  – діаметр ділянки трубопроводу з поліетиленовим рукавом, м;

$$R_{tr,g} = 0,0161 \cdot (500 + 20 \cdot 0,8 \cdot 0 + 10 \cdot 0,8 \cdot 0) +$$

$$+ 0,0046 \cdot (1000 + 20 \cdot 0,8 \cdot 1 + 10 \cdot 0,8 \cdot 0) = 9,3 \text{ км.}$$

Визначимо подачу вентилятора:

$$Q_p = Q_{3,p} \cdot k_{yt, tr}, \text{ м}^3/\text{хв}; \quad (2.98)$$

$$Q_p = 250 \cdot 1,22 = 305 \text{ м}^3/\text{хв.}$$

Визначимо тиск вентилятора, що працює на гнучкий комбінований трубопровід:

$$h_p = Q_p^2 \cdot R_{tr, g} \cdot \left( \frac{0,59}{k_{yt, tr}} + 0,41 \right)^2, \text{ даПа}; \quad (2.99)$$

$$h_p = 5,1^2 \cdot 9,3 \cdot \left( \frac{0,59}{1,22} + 0,41 \right)^2 = 202 \text{ даПа.}$$

По додатку 1 [21] і розрахунковим значенням  $Q_p$  і  $h_p$  вибираємо вентилятор типу ВМ-6.

Визначимо режим роботи вентилятора, для чого нанесемо аеродинамічну характеристику трубопроводу на аеродинамічну характеристику вентилятора.

Результати розрахунків зводимо в табл. 2.8.

Таблиця 2.8 – Вихідні дані для розрахунку режиму роботи вентилятора

$Q_{3,p}$ , м <sup>3</sup> /с	2	3	4	5
$k_{yt, tr}$	1,1	1,14	1,17	1,2
$Q_p$ , м <sup>3</sup> /с	2,2	3,4	4,7	6,0
$h_p$ , даПа	63	113	184	260

Побудуємо характеристику трубопроводу на аеродинамічній характеристиці вентилятора (рис. 2.5).

З побудови видно що  $Q_\phi = 5,3 \text{ м}^3/\text{с} = 318 \text{ м}^3/\text{хв}$ ;  $h_\phi = 215 \text{ даПа}$ .

Витрати у вибою складуть:

$$Q_{3,p,\phi} = 1,69 \cdot \sqrt{\frac{h_\phi}{R_{tr,g}}} - 0,69 \cdot Q_\phi, \text{ м}^3/\text{с}; \quad (2.100)$$

$$Q_{3,p,\phi} = 1,69 \cdot \sqrt{\frac{215}{9,3}} - 0,69 \cdot 5,3 = 4,3 \text{ м}^3/\text{с} = 258 \text{ м}^3/\text{хв.}$$

Витрати повітря у місті встановлення ВМП повинна задовольняти наступним умовам:

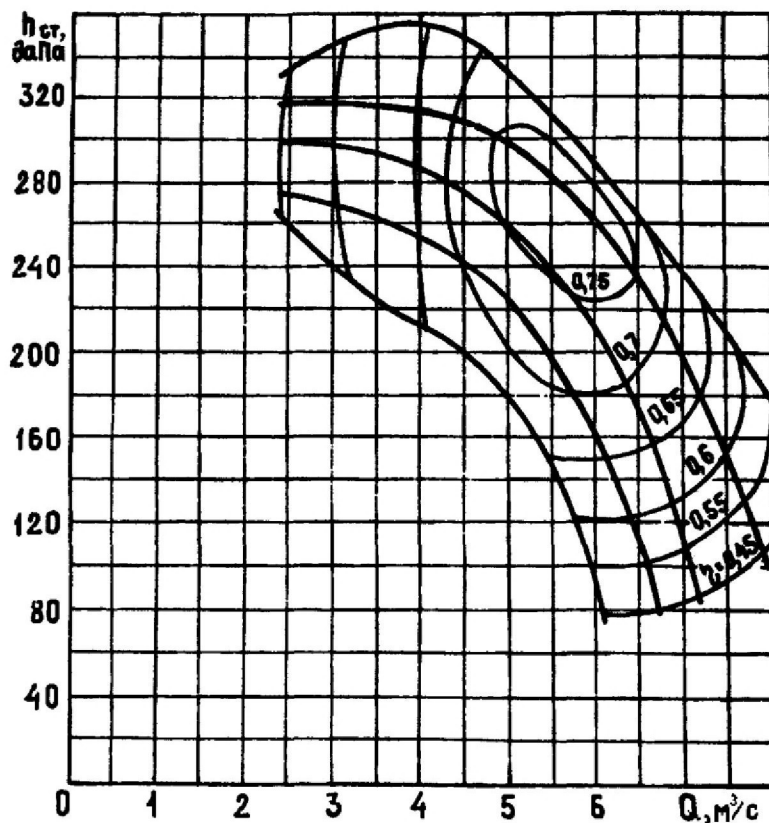


Рисунок 2.5 – Аеродинамічна характеристика вентилятора ВМ-6 та вентиляційного трубопроводу

$$Q_{bc} \geq 1,43 \cdot Q_\phi \cdot k_p, \text{ м}^3/\text{хв}; \quad (2.101)$$

де  $Q_\phi$  – подача вентилятора,  $\text{м}^3/\text{хв}$ ;

$$Q_{bc} \geq 1,43 \cdot 318 \cdot 1,1 = 500 \text{ м}^3/\text{хв}.$$

#### 2.4.5 Енергопостачання дільниці

Для живлення усіх видів машин і механізмів на дільниці використовується електрична енергія. Напруга в електромережі ділянки складає 660 В.

Приймаємо трансформаторну підстанцію КТПВ-630/6-0.69.

У якості комутаційної апаратури приймаємо:

- автоматичні вимикачи АВ;
- магнітні пускачі ПВИ.

У якості силового броньованого кабелю приймаємо кабель марки ЕВТ.

У якості силових гнучких кабелів приймаємо кабелі марки КГЕШ.

Для живлення освітлювальної мережі і гучномовного зв'язку приймаємо пусковий апарат АПШ.

У якості світильників приймаємо світильник РВЛ-20.

Перелік застосуваного обладнання представлений в табл. 2.9.

Таблиця 2.9 – Перелік застосуваного обладнання

№	Вид обладнання	Тип електродвигуна	Кількість електродвигунів	Потужність, кВт	$\cos \varphi$
1	Комбайн 1К 103М	ЭКВЭ - 200	1	200	0,87
2	Скребковий конвеєр СП-202	2ЭДКОФВ250В4	2	2 X 110 = 220	0,91
3	ВСП	АИУМ.225.М4	2	2 X 55 = 110	0,85
4	Скребковий перевантажувач ПС	2ЭДКОФВ250В4	2	2 X 55 = 110	0,91
5	Насосна станції СНТ-32	АИУМ.225.М4 АИУМ.112.М2	1 1	55 3 = 58	0,85
6	Насосна станції СНТ-32	АИУМ.225.М4 АИУМ.112.М2	1 1	55 3 = 58	0,85
7	Лебідка ЛВД 34	ВРП200М2	1	25,2	0,87
8	Лебідка ЛВД 34	ВРП200М2	1	25,2	0,87

Електропостачання дільниці здійснюється від пересувного розподільного пункту на якому встановлена трансформаторна підстанція, яка приєднана до розподільної мережі за допомогою КРУ. Дільничний розподільний пункт знаходитьться на конвеєрному штреку попереду вибою лави на свіжому струмені повітря і постійно переміщується в міру пересування лави. Згідно розрахунку приймаємо до встановлення на виймальній ділянці трансформаторну підстанцію КТПВ 630. Трансформатор КТПВ 630 живить дільничні автоматичні вимикачи АВ. Відключення вимикачів здійснюється блоком максимального токового захисту типу ПМЗ у випадку виникнення струмів короткого замикання.

Усі забійні машини приєднуються до мережі за допомогою пускачів, які у свою чергу живляться від двох вимикачів АВ. Керування усіма пускачами здійснюється дистанційно з пультів, розташованих на машинах чи поблизу від них.

Згідно вимог ПБ [1] в підземних виробах обладнана загальна мережа заземлення. В конвеєрному штреку улаштована місцева мережа заземлення, до якої приєднані всі об'єкти, які підлягають заземленню (металеві частини електротехнічних пристройів, які нормально не знаходяться під напругою, але можуть оказатися під напругою у випадку ушкодження ізоляції; трубопроводи, сигнальні троси і інше обладнання, розташоване у виробках).

Для заземлення КТПВ-630/6-0.69, АВ та ПВІ використовуємо сталеву смугу товщиною 3 мм, шириною 20 см та довжиною 5 м. Місцеве заземлення розташовуємо у стічній канавці в конвеєрному штреку (ширина канавки складає 30 см). На дно канавки кладемо шар піску товщиною 50 мм. Потім укладаємо сталеву смугу і засипаємо зверху шаром суміші з піску і дрібної породи. Товщина верхнього шару 150 мм. Параметри місцевого заземлення задовільняють вимогам ПБ.

Місцеві заземлювачі улаштовуємо у кожного розподільчого пункту, окремо

встановленого електроприймача і кабельної муфти. В мережах стаціонарного освітлення місцевий заземлювач улаштовуємо не для кожної муфти або світильника, а через кожні 100 м мережі. Заземлення муфт гнучких кабелів, а також корпус комбайну 1К 103М, конвеєру СП 202, перевантажувача ПС, лебідки ЛВД 34, світильників здійснюємо з'єднанням із загальною мережею заземлення за допомогою заземлюючих жил живильних кабелів. Заземлючу жилу з обох боків присоединяємо до внутрішніх заземлюючих затискачів у кабельних муфтах та ввідних пристроях.

Для комбайну 1К 103М і забійного конвеєру СП 202 передбачаємо іскробезпечну схему безперервного контролю заземлення. Крім цього, застосовуємо схему управління з використанням заземлюючої жили силового кабелю, попередній контроль цілісності якої здійснюється по іскробезпечному ланцюгу перед подачею напруги на машину.

## 2.5 Охорона праці

### 2.5.1 Санітарно-гігієнічні заходи

Згідно з [1] для всіх технологічних процесів передбачаємо застосування заходів механізації не тільки основних, але і допоміжних робіт, що виключають або зводять до мінімуму важку ручну працю.

Перевезення людей здійснюємо при відстані до місця роботи 1 км і більше по горизонтальних, а по вертикальних і похилих підготовчих виробках – якщо різниця між відмітками кінцевих пунктів виробки перевищує 25 м.

У кліт'євого стовбура влаштовуємо камеру очікування, а на приймальних майданчиках похилих виробок, обладнаних засобами перевезення людей в пасажирських вагонетках – спеціальні місця очікування. Приміщення, камери і місця очікування утеплюємо, освітлюємо і обладнуємо сидіннями, телефонним зв'язком і сигналізацією про дозвіл посадки в транспорт. Температура в них повинна бути не нижче + 16°C.

Для пересування людей мінімальна ширина проходу повинна бути не менше 0,7 м. У виробках вказана ширина повинна зберігатися на висоті 1,8 м від підошви. В очисних вибоях при робочому стані кріплення висота проходу повинна бути не менше 0,5 м.

Шляхи пересування і доставки людей по виробкам повинні бути зручні і безпечно, а водостічні канавки перекриті.

Стан гірничих виробок, робочих місць і приміщень повинен відповідати санітарним нормам і правилам.

Приствольні, головні відкотні і вентиляційні виробки, машинні і трансформаторні камери білим по мірі їх забруднення, але не рідше за один раз в півроку. Білення даних виробок проводимо по графіках згідно вимогам пилегазового режиму.

В стволах влаштовуємо водоуловлювачі, в клітях – пристосування для захисту від капежа, а в місцях посадки і виходу людей з кліті здійснюємо заходи, що забезпечують запобігання попаданню води на людей.

У вибоях з інтенсивним капежом і притоком води працівники забезпечу-

ються водозахисним спецодягом і спецвзуттям.

Для цілей пилопридушення використовуємо воду, що відповідає вимогам державного стандарту. Допускається, за узгодженням з органами санітарно-епідеміологічного нагляду, використання шахтної води після очищення від механічних домішок і бактерійного знезараження.

У проектах і паспортах передбачений шумовіброзахист працівників. Контроль дотримання допустимих рівнів і тривалості дії шуму і вібрації здійснюється установами Держсанепідемслужби у відповідності вимогами Державних санітарних правил і норм «Підприємства вугільної промисловості».

## **2.5.2 Медичне і гігієнічне забезпечення**

На шахті обладнані підземні і поверхневі медпункти.

Підземний медпункт розташований в приствольному дворі в спеціальній камері на свіжому струмені повітря по шляху проходження основної маси робочих.

Всі працівники шахти навчені наданню першої допомоги постраждалим і мають при собі індивідуальні перев'язувальні пакети в міцній водонепроникній оболонці.

У всіх цехах поверхні шахти, вбиральнях, в надшахтних будівлях, приствольних дворах, на підземних ділянках, у виходів з очисних забоїв і в забоях підготовчих виробок, а також в машинних камерах є укомплектовані аптечки для надання першої допомоги і носилки з твердим ложем. Носилки пристосовані для установки їх в санітарному транспорті без перевантаження потерпілого.

Адміністративно-побутовий комбінат шахти розташований поблизу надшахтної будівлі і з'єднаний з нею утепленим переходом.

В надшахтній будівлі в місцях очікування людей в зимовий період температура складає не менше + 16°C.

Для тих, що працює на відкритому повітрі шахтній поверхні, коли температура нижча +10°C, передбачено приміщення для обігріву з температурою не нижче + 22°C і рухливістю повітря до 0,2 м/с. Приміщення забезпечені питною водою і кип'ятком.

Для питних потреб і прання одягу шахта забезпечена питною водою, якість якої відповідає вимогам державного стандарту. В аварійних випадках допускається використання очищеної і знезараженої шахтної води в душових за узгодженням з установами Госсанепідемслужби.

Роздягальні і душові мають 45-хвилинну пропускну спроможність. Душові забезпечені гарячою і холодною водою з розрахунку 60 л на кожного миючогося і мають пристрой змішувачів з регулюючими кранами.

### **З СПЕЦІАЛЬНА ЧАСТИНА ПРОЕКТУ**

#### **Удосконалення очисних робіт по пласту, небезпечному за раптовими викидами вугілля та газу**

##### **3.1 Загальні відомості**

При розробці вугільних пластів на деяких з них відбуваються раптові викиди вугілля і газу, що характеризуються довільним миттєвим руйнуванням вугілля у привибійній зоні, винесенням його в гірничу виробку і супроводжуються підвищеним, у порівнянні із звичайним, газовиділенням. Кількість викинутого вугілля змінюється від декількох до багатьох тисяч тон на один випадок, а об'єм газу, що виділяється, досягає декількох десятків тисяч кубічних метрів.

Наприклад, при розкритті пласта  $\zeta$  на шахті ім. Ю.О.Гагаріна у м. Горлівка (Донецька область) у 1969 році трапився раптовий викид, при якому було викинуто понад 14 тис. т вугілля і виділилося більше ніж 250 тис. кубічних метрів метану [24].

Перший раптовий викид вугілля та газу відбувся у 1906 році на шахті "Нова Смолянка" у центральній частині Донбасу, при розкритті пл.  $h_7$ . Потім одиничні викиди виникали на інших пластах шахт Донецько-Макіївського району. У 20-ті роки внаслідок інтенсифікації видобутку вугілля, кількість викидів значно збільшилась, а їх негативний наслідок значно ускладнив проведення гірничих робіт. З 1929 р. МакНДІ почав регулярні дослідження на викидонебезпечних пластах. Значна закономірність проявлень раптових викидів вугілля і газу є групування їх тільки в окремих частинах пласти - викидонебезпечних зонах. За межами цих зон властивості пластів при розробці практично такі ж як в умовах небезпечних пластів. Пояснення зональності викидів, їх приуроченість до зон тектонічних порушень визначилися вже у перших дослідженнях. Проф. Карапов А.М. зробив висновок зі смугами підвищеної потужності вугільного пласти. Проф. А.М. Биков підкреслював, що раптові викиди зв'язані з зонами геологічних порушень, а також поблизу від них. У 1933 р. була створена комісія по раптовим виділенням метану у вугільних шахтах. У результаті цих мір була створена регулярна реєстрація викидів і почалось накопичення інформації про обставини і причини їх виникнення Однак неповне уявлення про геомеханічні та фізико-хімічні процеси, що виникають в вугленосних породах у час проведення гірничих робіт приводило до того, що у категорію раптових викидів включалися різноманітні за своєю природою явища. В "Инструкции по безопасному ведению горных работ на пластах склонных к внезапным выбросам угля, породы и газа", затвердженої у 1989 р. [25] наведена нова класифікація у якій швидкі розвалення вибійної частини масиву, які супроводжуються відкидом, або обвалюванням вугілля (породи) у гірничу виробку з підвищеним газовиділенням, були об'єднані у категорію газодинамічних явищ. До цих явищ винесені:

раптові викиди вугілля та газу;

раптові видавлювання вугілля з підвищеним газовиділенням;  
раптові обвалення (висипання) вугілля з підвищеним газовиділенням;  
викиди вугілля та газу при вибухових роботах;  
викиди породи та вугілля при вибухових роботах;  
раптові викиди вугілля та газу при керуванні механізмами.

Не дивлячись на умовність такої диференціації, вона достатньо точно підрозділяє викиди за обставинами їх виникнення.

Загальна кількість раптових викидів зареєстрованих у Донбасі за період з 1976 по 1987 рр складає 653 викиди Однак, застосування противикидних заходів як і раніше значно ускладнює технологію видобутку вугілля. З цієї точки зору задачі, які стоять перед вугільною промисловістю такі [26]:

на гірничо-підготовчих роботах слід ширше використовувати вже розроблену ефективну техніку;

необхідно розробити рекомендації по проведенню гірничих робіт на викидонебезпечних пластах для глибоких шахт, більш 800 м;

необхідно створити безшпурові способи надійного текучого прогнозу.

Зрозуміло, що раптові викиди вугілля і газу уявляють серйозну небезпеку для працюючих у вибоях і пов'язані зі значними витратами на ліквідацію їхніх наслідків. Тому питанням створення умов безпечної розробки пластів, схильних до такого виду явищ, приділяється велика увага.

Боротьба з викидами вугілля і газу ведеться за трьома основними напрямками (рис. 3.1):

- прогноз викидонебезпечності пластів;
- відвернення викидів у вибоях;
- забезпечення безпечних умов праці.

Метою прогнозу є встановлення ступеня викидонебезпечності пласта — викидонебезпечний, загрозливий або безпечний щодо раптових викидів вугілля та газу.

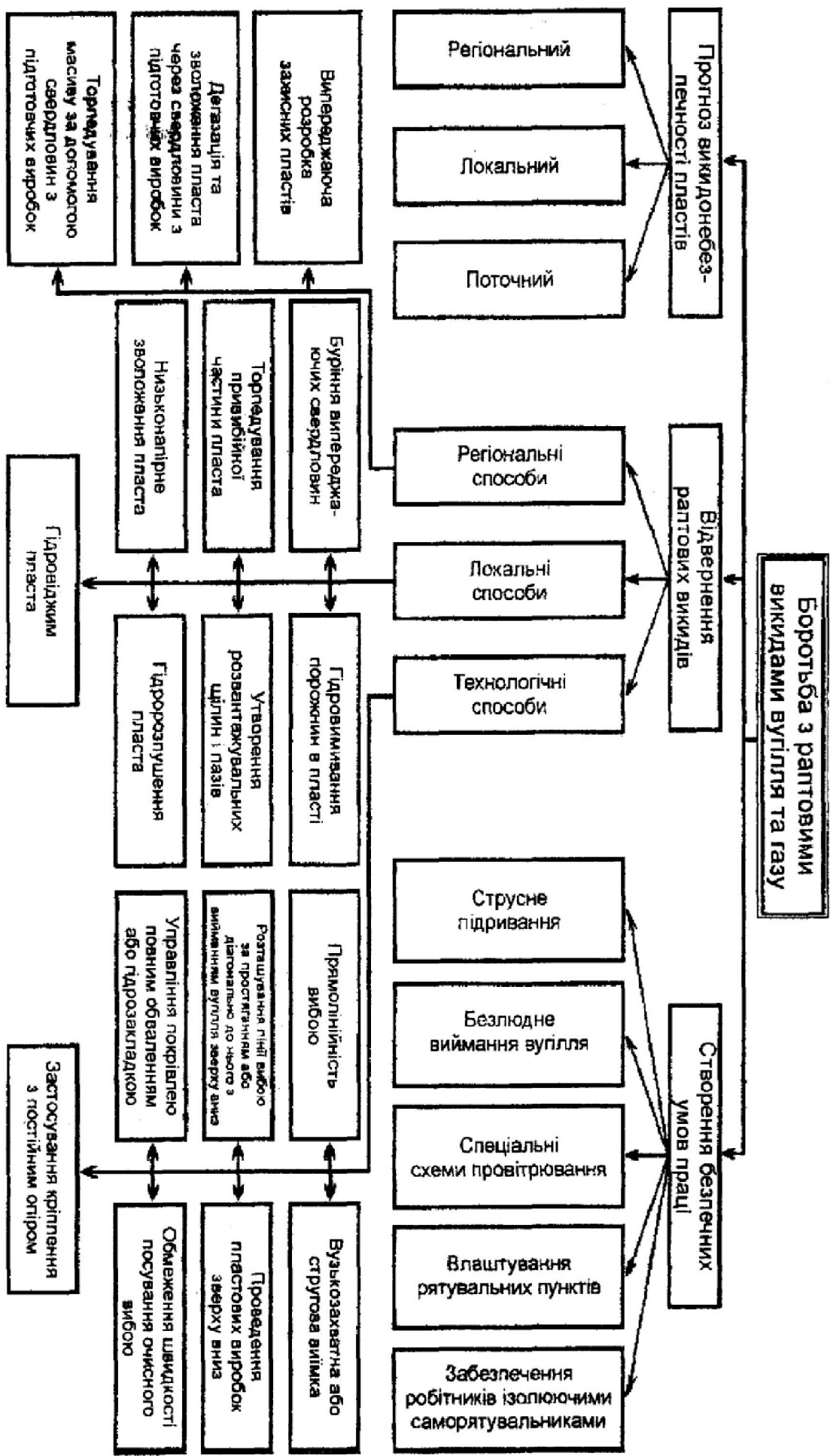
При цьому розрізняють наступні види прогнозів: регіональний, локальний і поточний.

Регіональний прогноз здійснюється на стадії геологорозвідувальних робіт і дозволяє встановити потенційну викидонебезпечність вугільних пластів у межах геологічного району або окремого шахтного поля. Результати його використовуються при укладанні проекту будівництва шахти.

Локальний прогноз здійснюється для виявлення викидонебезпечності пластів на нових горизонтах, а також встановлення мінімальної глибини розробки, з якої необхідно виконувати поточний прогноз

Поточний (безперервний) прогноз проводиться у вибоях викидонебезпечних пластів з метою встановлення викидонебезпечних зон, в безпечних пластів з метою встановлення викидонебезпечних зон, в яких необхідно проводити противикидні заходи. Справа в тому, що викиди вугілля і газу носять

Рисунок 3.1 – Схема організації боротьби з викидами вугілля і газу



чітко виражений зональний характер, тобто пристосовані до певних дільниць (зон), які за площею займають порівняльно невелику (5-7%) частину площини пласта в межах шахтного поля. Противикидні заходи в викиднебезпечних зонах не застосовуються.

Відвернення викидів має за мету виключити або знизити імовірність їхнього виникнення у вибої. Всі способи відвернення викидів поділяються на: регіональні, локальні та технологічні.

Регіональні способи забезпечують приведення пласта в безпечний стан на більш-менш значній його площині. До них відносяться випереджача розробка захисних пластів, буріння по пласту свердловин різноманітного призначення не з очисного вибою, а з виймкової виробки спереду лави або навіть з поверхні.

До локальних відносяться способи, що виконуються в самому вибої і для виконання яких необхідно виділяти спеціальний час і навіть зміну, в той час як регіональні способи не пов'язані з виконанням гірничих робіт у вибоях.

Третій напрямок боротьби з викидами – технологічний, - не ставить за мету відвернення викидів у вибої, а в деяких випадках, навпроти, навіть провокує їх (наприклад, застосування струсного підривання), однак при цьому повинні забезпечуватися безпечні умови для працюючих у вибоях.

### **3.2 Загальна характеристика технології противикидних заходів**

Раптовий викид вугілля та газу є складним газодинамічним явищем, яке відбувається в декілька стадій:

накопичення і розподілення потенціальної енергії гнучких деформацій вугільного масиву і масиву порід, перехід вугільного пласта у привибійній частині у предельно напружений стан;

шивидке розвалення біля вибійної частини пласта, яке супроводжується тріщеноутворенням, дробленням вугілля, інтенсивною десорбцією метану;

лавинне розвалювання вугільного масиву під дією гірничого та газового тиску;

викид розваленого вугілля у потоці газу, який надходить;

закінчення процесу розвалення вугільного масиву і постійне зменшення газовидлення.

Раптовий викид вугілля і газу має попереджаючи признаки видавлення або висипання вугілля з вибою;

удари, тріски, різноманітної сили та частоти у масиві;

підскакування крих вугілля з вибою;

зменшення міцності вугілля;

різке збільшення газовидлення у виробку, стиск бурового інструменту; викид шибу при бурінні штурів.

До викиднебезпечних пластів відносяться у межах шахтного поля пласти на яких виникли раптові викиди вугілля, породи і газу, або викиднебезпечності яких встановлена текучим прогнозом. В умовах Донбасу при виявленні на пласті небезпечної зони викиднебезпечності пласти уточнюється експертною оцін-

кою МакНДІ. При будь-якому способі підготовки шахтопласт відноситься до викидонебезпечного з ізогіпсі, що проходить на відстані 100м вище відмітки першого викиду вугілля та газу, або небезпечної зони, встановленої прогнозом, або експертною оцінкою.

Щодо безпечної розробки викидонебезпечних або погрожувальних пластів застосовуються локальні або регіональні способи. Регіональні способи предзначенні для заздалегідь обробки вугільного масиву попереду очисних та підготовчих вибій. До них відносяться:

- попередня відробка захисних пластів;
- дегазація вугільних пластів;
- зволоження вугільних пластів.

Локальні способи предзначенні для приведення привибійнії частини масиву у невикидонебезпечний стан. Ці засоби виконують з безпосередньо з очисного або підготовчого вибою. До локальних способів відносяться:

- низьке напірне зволоження вугільного пласти;
- гідрихлення;
- гідровіджим пласти;
- буріння свердловин, що випереджають вугільний вибій;
- гідровимив полостей, що випереджають вугільний вибій;
- відтворювання розвантажувальних щілин;
- торпедування вугільного масиву.

В усіх випадках застосування регіональних та локальних способів попередження Раптових викидів вугілля і газу необхідно впроваджувати контроль їх ефективності. При виконанні шахтних проектів у першу чергу необхідно використовувати попередню розробку захисних пластів і впровадження регіональних способів захисту пластів [27, 28].

### **3.2.1 Випереджаюча розробка захисних пластів**

#### **3.2.1.1 Сутність способу**

Багаторічною практикою було встановлено, що у разі, коли до виїмки викидонебезпечного пласта раніше відробити інший, близько розташований до нього пласт, то викиди на першому припиняються.

Пласт, що відпрацьовується першим по відношенню до небезпечного і завдяки цьому захищає його від викидів, отримав назву захисного, а сам пласт, що захищається, — підзахисного.

Якщо у світі обидва пласти небезпечні з викидів, в якості захисного використовується менш викидонебезпечний пласт або той, що забезпечує більш повний захист іншого по висоті поверху (ярусу), що відпрацьовується.

На потужних пластих, що розробляються з поділенням на шари, захисним є шар, що відпрацьовується першим.

Ефект захисної дії випереджаючої відробки пластів полягає у тому, що викидонебезпечний пласт під впливом підробки або надробки розвантажується

від підвищеного гірничого тиску, знижується його напруженій стан. Це виключає можливість руйнування вугілля в привибійній зоні і в кінцевому рахунку попереджує розвиток процесу викиду вугілля і газу. Крім того, у розвантаженому пласті відбувається розширення пор і тріщин, що сприяє зростанню газопроникності пласта і його ефективній дегазації, а також закріпленню ефекту захисної дії в продовж часу.

Ефективність захисної дії залежить від багатьох факторів, серед яких:

- взаємне розташування захисного і небезпечного пластів у світі;
- кут падіння пластів;
- глибина розробки;
- потужність захисного пласта;
- розміри виробленого простору на захисному пласті;
- спосіб управління покрівлею на захисному пласті;
- наявність пісковиків у між пласті та ін.

Всі ці фактори враховуються при побудові меж зон захисної дії.

### **3.2.1.2 Побудова меж зон захисної дії**

Захищеним від викидів на небезпечному пласті може бути лише дільниця, що потрапляє у зону інтенсивного (достатнього) розвантаження, викликану попередньою виїмкою захисного пласта. Звідси стає зрозумілою важливість питання визначення меж захисної дії пластів [25].

Розрізняють наступні межі захисної дії при вийманні пласта лавами:

- навхрест простягання порід;
- за простяганням;
- в покрівлю і підошву пласта або, що одне й те ж, діапазон захисної дії в покрівлю і підошву;
- межі зони відновлення повторної викидонебезпечності.

Алгоритм побудови меж зон захисту на викидонебезпечному пласті при відробці його лавами за простяганням наступний (рис. 3.2).

На рис. 3.2 наведені відразу обидва випадки побудови меж захисної зони при виїмці лавами за простяганням — при підробці і надробці викидонебезпечного пласта.

1. Зображенується у масштабі розріз взаємного розташування небезпечного і захисного пластів.

2. Визначається і зображенується на кресленні розмір виробленого простору на захисному пласті за падінням.

При цьому необхідно керуватися наступними положеннями:

—якщо захисний пласт відпрацьовується без залишення ціликів вугілля між поверхами (ярусами) або ширина таких ціликів менш за  $0,1\zeta_{\text{оп}}$  (де  $\zeta_{\text{оп}}$  - ширина зони опорного тиску, що залежить від потужності захисного пласта і глибини ведення робіт I визначається за номограмою, наведеною на рис. 3.3), то за величину а приймається сумарна ширина виробленого простору за падінням пласта, тобто сумарна похила висота всіх відроблених поверхів (ярусів);

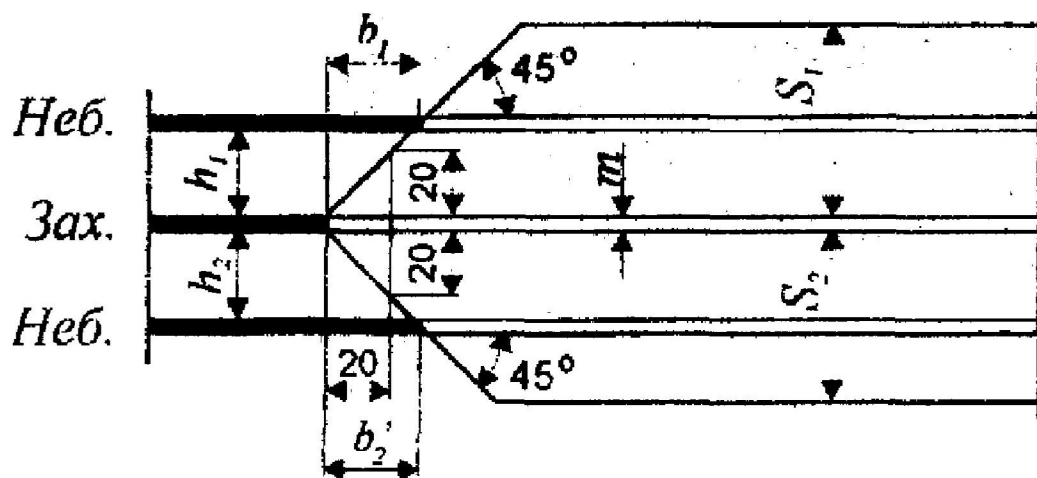


Рисунок 3.2 – Етапи побудови меж зони захисної дії навхрест простяганню при вийманні лавами за простяганням  
неб – небезпечний пласт; зах – захисний пласт

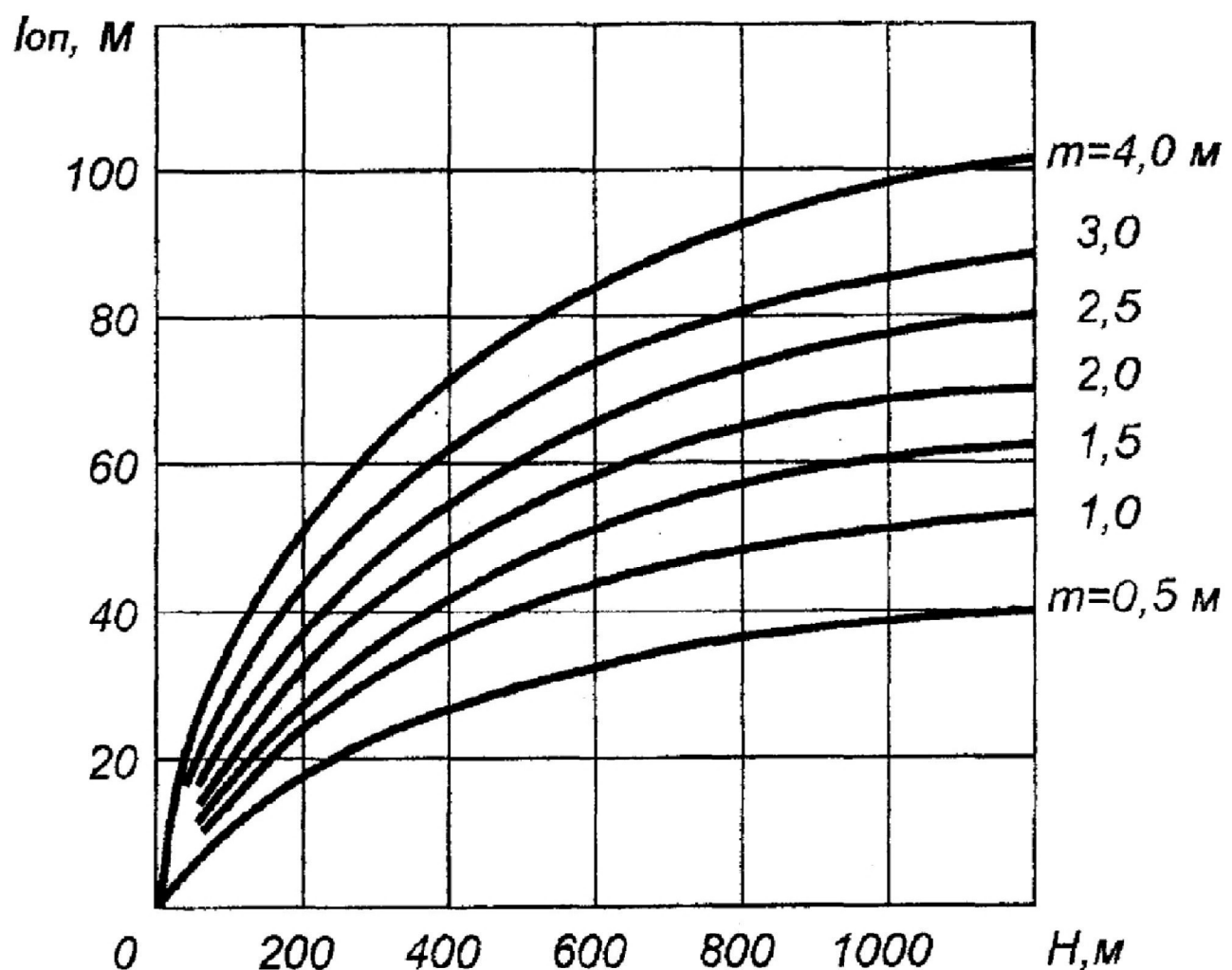


Рисунок 3.3 – Номограма для визначення ширини зони опорного тиску

—якщо розмір цілика в будь-якому з раніше відроблених ярусів (поверхів) перевищує значення  $0,1\%_{\text{оп}}$  (що є умовою збереження його цілісності), то за величину а приймається сумарна ширина виробленого простору за падінням, обмежена обабіч незруйнованими ціликами, або з одного боку таким шником, а з другого — вугільним масивом;

—якщо обабіч лави знаходиться масив вугілля, то ширина виробленого простору в будь-якому випадку буде дорівнювати довжині лави.

3. За кутом падіння пласта, що відпрацьовується, з таб. 3.1 визначаються значення кутів захисної дії при підробці ( $\delta_1$  і  $\delta_2$ ) та при надрубці ( $\delta_3$  і  $\delta_4$ ) і відкладаються на кресленні (рис. 3.2 в).

Таблиця 3.1 – значення кутів захисної дії при підробці і при надробці пластів

Кут падіння пласта, градус	Кут захисту, градус				Кут тиску, градус		
	$\delta_1$	$\delta_2$	$\delta_3$	$\delta_4$	$\varphi_1$	$\varphi_2$	$\varphi_3$
0	80	80	75	75	64	64	64
10	77	83	75	75	62	63	63
20	73	87	75	75	60	60	61
30	69	90	77	70	59	59	59
40	65	90	80	70	58	56	57
50	70	90	80	70	56	54	55
60	72	90	80	70	54	52	53
70	72	90	80	72	54	48	52
80	73	90	78	75	54	46	50
90	85	80	75	80	54	43	48

4. Визначаються розміри зон захисту в покрівлю  $S_1$  і підошву  $S_2$  пласта:

$$S_1 = \beta_1 \cdot \beta_2 \cdot S_1'; \quad (3.1)$$

$$S_2 = \beta_1 \cdot \beta_2 \cdot S_2'; \quad (3.2)$$

де  $\beta_1$  – коефіцієнт, що враховує вплив потужності захисного пласта;

$\beta_2$  – коефіцієнт, що враховує процентний вміст пісковиків у породах міжпластті;

$S_1'$  та  $S_2'$  – розміри умовної захищеної зони, відповідно, в покрівлю і підошву пласта, м (табл. 3.2).

Для знаходження значення  $\beta_1$  необхідно визначити критичну  $t_0$  та ефективну  $t_{\text{eff}}$  потужність захисного пласта.

Критична — це така умовна потужність, що чисельно дорівнює величині пружного відновлення масиву порід підошви і покрівлі після виїмки пласта. Фізичний сенс її полягає в наступному.

Таблиця 3.2 – Розміри умовно захищеної зони в покрівлю і підошву пласта

Глибина робіт $H$ , м	Значення $S_1$ , м						Значення $S_2$ , м					
	Найменший розмір або $b'$ , м						Найменший розмір або $b$ , м					
	100	125	150	175	200	250	100	125	150	200	250	
300	125	148	172	190	205	220	76	83	87	90	92	
400	112	134	155	170	182	194	58	66	71	74	76	
500	100	120	142	154	164	174	49	56	62	66	68	
600	90	109	126	138	146	155	43	50	55	59	61	
800	73	90	103	117	127	136	36	41	45	49	50	
1000	57	71	88	100	114	122	32	36	41	44	45	
1200	50	63	80	98	104	113	30	32	37	40	41	

Якщо сумарна величина пружного відновлення породного масиву менше потужності захисного пласта, то, отже, розпрямлення порід не обмежується потужністю пласта, і захисна дія може виявитися на максимальну можливу для конкретних умов відстань.

Якщо ж сумарна величина пружного відновлення порід більше потужності пласта, то, природно, захисна дія розповсюджиться на меншу відстань, оскільки потужність пласта перешкоджає повному розпрямленню стислих порід.

Критична потужність захисного пласта залежить від ширини виробленого простору на захисному пласті а і глибини робіт  $H$  і визначається за номограмою (рис. 3.4). При цьому, якщо визначена ширина виробленого простору на захисному пласті а перевищує значення  $0,3H$ , то при користуванні номограмою (рис. 3.4) слід прийняти а рівним  $0,3H$ , але не більш за 250 м.

Ефективною потужністю захисного пласта називається та частина його вийманої потужності, в межах якої можливо пружне відновлення порід покрівлі і підошви. Її величина визначається за формулою:

$$m_{\text{eф}} = km, \quad (3.3)$$

де  $k$  – коефіцієнт, що враховує компресійні властивості закладного матеріалу;  $k=0,2$  при гіdraulічній закладці;  $k=0,3$  при інших видах закладки, Для крутых пластів Центрального району Донбасу:  $k=0,35$  при гіdraulічній закладці; при інших видах закладки  $k=0,45$ ;  $k=0,7$  при управлінні покрівлею утриманням на кострах. При управлінні покрівлею повним обваленням у всіх випадках  $k=1$ .

Після визначення  $m_o$  та  $m_{\text{eф}}$  значення  $\beta_1$  знаходиться за формулою:

$$\beta_1 = \frac{m_{\text{eф}}}{m_o}, \quad (3.4)$$

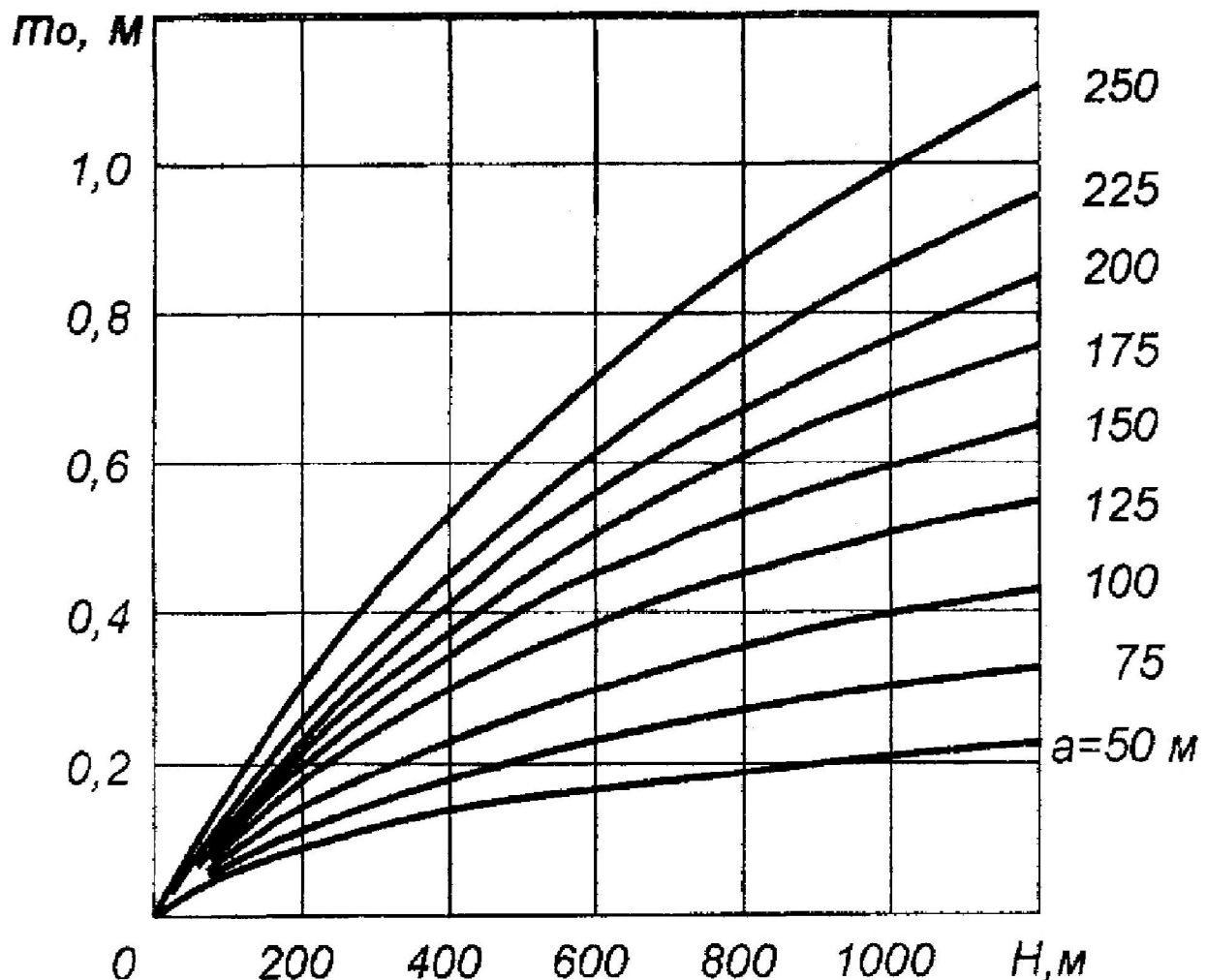


Рисунок 3.4 – Номограма для визначення критичної потужності захисного пласта  $m_0$

Якщо значення  $\beta_1$  виявиться більшим за одиницю, то слід прийняти  $\beta_1=1$ . Коефіцієнт  $\beta_2$  визначається за формулою:

$$\beta_2 = 1 - \frac{0,4\eta}{100}, \quad (3.5)$$

де  $\eta$ -процентний вміст пісковиків у породах міжпласття.

За знайденим значенням  $\beta_1$  визначаються істинні значення  $S_1$  та  $S_2$  (за формулами, відповідно (3.1) та (3.2)), і на кресленні оконтурюються зони захисної дії розробки (рис. 3.2).

5. Визначається мінімально допустиме випередження очисного вибою на захисному пласті відносно вибоїв на пласті, що захищається. При цьому в якості межі очисної виробки на захисному пласті приймається частина очисного вибою, що найбільш відстає, а в якості межі на викидонебезпечному пласті —

найбільш передовий вибій підготовчої виробки або очисної, якщо підготовча виробка проводиться позаду очисного вибою.

Мінімально допустиме випередження захисного пласта приймається рівним не менш потужності міжпластtя, тобто:

- при підробці

$$b'_1 \geq h_1; \quad (3.6)$$

- при надробці

$$b'_2 \geq h_2. \quad (3.7)$$

Встановлені вище межі захисної дії справедливі для випадку, коли після виїмки захисного пласта не відбувається відновлення його напруженого стану до небезпечних меж. А це можливо при малій ширині виробленого простору на захисному пласті або при невеликій відстані між небезпечним і захисним пластами. При значних же відстанях, коли в результаті надробки або підробки небезпечного пласта не відбувається його дегазація, з часом може відбутися відновлення напруженого стану до небезпечних меж, і з'явиться повторна викидонебезпечність на окремих дільницях раніше захищеної зони. Якщо з якихось виробничих або технічних обставин неможливо забезпечити максимально допустиме випередження в розробці захисного пласта, то необхідно оконтурити зони повторної викидонебезпечності і в них застосовувати противикидні заходи.

### **3.3 Системи розробки і технологія ведення очисних робіт на викидонебезпечних пластиах**

Розробку незахищених викидонебезпечних пластів необхідно виконувати стовповими системами розробки, оскільки при цьому очисні і підготовчі роботи відокремлені в часі і просторі, що підвищує безпеку робіт. Наприклад, у випадку виникнення викиду в штреку продукти викиду не потрапляють в очисний вибій, і робітники в ньому не наражаються на небезпеку.

З іншого боку, навколо заздалегідь пройдених виїмкових виробок відбувається дегазація пласта, що виключає викиди на прикінцевих ділянках лав. Крім того, за наявності заздалегідь проведених виробок є можливість проводити регіональні заходи щодо відвернення викидів, наприклад, шляхом проведення свердловин для дегазації пласта і наступного тривалого зволоження.

Доцільно також застосування комбінованої системи розробки стовпової з суцільною з прямоточним провітрюванням, при якій свіже повітря на дільницю надходить по двох виробках, забезпечуючи тривке провітрювання вибою. У випадку виникнення викиду є можливість виходу робітників з дільниці по одній з виробок зі свіжим струменем повітря.

Внаслідок порівняльно низьких темпів проведення виїмкових виробок на викидонебезпечних пластиах, а також за гірнико-геологічними умовами застосу-

вання стовпових систем розробки не завжди можливо. В таких випадках допускається застосування суцільної системи розробки. Більш прийнятним її різновидом для даних умов є лава-поверх з середнім вентиляційним штреком. Надходження свіжого струменя повітря по двох виробках забезпечує відокремлене провітрювання обох частин лави (верхньої і нижньої) і дає можливість суміщати роботи з виймання вугілля в одній частині лави з виконанням противикидних заходів в інший.

Також допустимо застосування системи розробки парними штреками. Якщо при відробці непарних ярусів по суцільній системі мають місце раптові викиди вугілля і газу, то при відробці парних ярусів по стовповій викиди, як показала практика, не відбуваються. Це пояснюється дегазацією пласта, що вібувається поблизу виїмкових штреків, і значним віджимом вугілля в привибійній зоні, зумовленим передачею на пласт великих опорних навантажень, викликаних відробкою непарних ярусів. Внаслідок віджиму вугілля відбувається природна дегазація пласта та захист від викидів в привибійній зоні. З цієї точки зору можна вважати, що на великій глибині викиди у довгих очисних вибоях відбудутися не будуть.

Підготовчі виробки з кутами нахилу понад  $10^{\circ}$  повинні проводитися у напрямку зверху вниз. Допускається проведення їх знизу вверх комбайнами з дистанційним управлінням зі свіжого струменя повітря без постійної присутності людей у виробці.

Польові виробки повинні проводитися на відстані не менш за 5 м за нормаллю від викидонебезпечних пластів.

Транспортні виїмкові виробки на крутых і крутопохилих пластах при суцільній системі розробки повинні випереджати очисний вибій (вважаючи від першого уступу лави або сполучення лави зі штреком) не менш ніж на 100 м, а просіки – не менш ніж на 20 м.

На пологих і похилих пластах допускається проведення транспортного штрека по вугіллю одним вибоєм з лавою або з випередженням не менш за 100 м.

Виїмка вугілля в очисних вибоях пологих і похилих викидонебезпечних пластів повинна здійснюватися, як правило, стругом або вузькозахватними комбайнами, які забезпечують виїмку в розвантажений і дегазований привибійній зоні пласта, формування якої в основному завершується в продовж трьох годин після виїмки. З урахуванням цього виїмка вугілля вузькозахватними комбайнами повинна виконуватися по односторонній схемі.

Істотний вплив на безпеку виїмки вугілля виявляє швидкість подачі комбайну. Збільшення її призводить до зростання сейсмоакустичної активності пласта, яка свідчить про зростання викидонебезпечної ситуації у вибої. Так проведеними на шахті "Ізваринська" ВО "Гуківвугіля" (Ростовська область, РФ) дослідженнями встановлено, що для пласта  $i_2$  безпечна швидкість подачі комбайна складала 0,7 м/хв. При збільшенні її до 1 м/хв. і більше в лаві відбувалися раптові викиди вугілля і газу. Зрозуміло, що для кожного пласта максимально допустима швидкість подачі комбайна може відрізнятися, що вимагає проведення відповідних досліджень [29].

Виїмку на крутых викидонебезпечних пластиах потужністю понад 0,7 м слід виконувати лавами за падінням зі застосуванням щитових агрегатів, а також лавами за простяганням з діагональним розташуванням вибою і дистанційним управлінням комбайном. Обидва види вибою виключають можливість обвалення вугілля у привибійний простір, котрі нерідко переростають у власне раптові викиди.

У тих випадках, коли гірничо-геологічні умови не дозволяють застосувати виїмку щитовими агрегатами або комбайнами, допускається виїмка відбійними молотками у стельоуступних вибоях. Відстань між вибоями уступів (розтяжка уступів) не повинна перевищувати 3 м на пластиах потужністю до одного метра і 4 м – на більш потужних пластиах.

Управління покрівлею в очисних вибоях викидонебезпечних пластиів повинно виконуватися повним обваленням або повною закладкою.

Закладка виробленого простору на крутых пластиах повинна здійснюватися дробленою породою на всю висоту поверху без залишення порожнин. Крок закладки повинен складати 1,8-3,6 м при сухій закладці і 4,5-7,2 м при підравлічній. Максимальна відстань від закладного масиву до вибою не повинна перевищувати 11 м.

### 3.4 Дегазація вугільних пластів

Найбільш ефективним засобом попередження раптових викидів вугілля і газу на незахищених пластиах є заздалегідня дегазація вугільного масиву завдяки якій знижується газове виділення та загальна газоносність пластиу. Величина газовиділення у свердловину визначається за формулою [28]:

$$q = \frac{q_0}{(a \cdot t + 1)}, \text{ м}^3/\text{доб}, \quad (3.8)$$

де  $q_0$  – початкове газовиділення у свердловину,  $\text{м}^3/\text{доб.}$ ;

$a$  – коефіцієнт, який характеризує зниження газовиділення у часі;

$t$  – тривалість дегазації, год;

Величина початкового газовиділення і швидкість його зниження за часом знаходяться у зв'язку з показниками викидонебезпечного пластиу. Чим більше потенційна викидонебезпечність пластиу, тим більше початкова інтенсивність газовиділення і швидкість її зниження за часом.

При вірно вибраних параметрах газовиділення з пластиу за часом 6-7 місяців його дегазації зменшується на 20-40 %, газоносність пластиу при цьому знижується на 15-25 %.

У зв'язку з низькою ефективністю дегазації розробляємих пластиів на глибоких горизонтах необхідні заходи по інтенсифікації пластової дегазації. Найбільш технічно доцільні із них є: гідралічна обробка пластиу: гідровіджим вугільного пластиу; гідровимивання полостей попереду вугільного забою; торпедування попереду вугільного забою.

Дегазація вугільного забою свердловинами включає буріння з підготовчих виробок у пласт, що відробляється. Попереду лави свердловин паралельно лінії очисного вибою, їх герметизацію і підключення до дегазаційного трубопроводу. Свердловини залишаються у підключенному стані після проходження лави. Схема свердловин за даним способом наведена у графічний частині проекту. Спосіб виконується таким чином. Дегазаційну свердловину бурять у покрівлю пласти з підготовчої виробки паралельно лінії очисного вибою. Кут підйому свердловин дорівнює  $50-80^\circ$  і залежить від кута розвантаження порід що підробляються. Після закінчення буріння і герметизації устя свердловину підключають до дегазаційного трубопроводу. Після її проходу лавою за секцією механізованого кріплення викладають захисну смугу з залізобетонних блоків уздовж всієї свердловини. Захисна смуга необхідна для зниження здвиження порід уздовж свердловини, що забезпечує вихід газу по свердловині. Відстань між дегазаційними свердловинами складає 20-40 м. Дегазаційний трубопровод прокладається на підошві виробки і залишається за лавою. Якщо виробка не підтримується після проходу лави, то приймаються заходи для його збереження. Використання способу дозволяє підвищити безпечність проведення очисних робіт при розробці газоносних вугільних пластів.

### **3.5 Дегазація і зволоження вугільного пласти**

Спосіб дегазації і зволоження вугільного пласти включає буріння по пласту паралельно очисному вибою свердловин, підключення їх до газопроводу, висмоктування газу, потім відключення їх від газопроводу, нагнітання у них води та витримку їх під тиском. Глибина герметизації складає 5-16 м і дорівнює зоні розвантаження вугільного масиву гірничуою виробкою [28].

### **3.6 Зволоження вугільного пласти**

Зволоження вугільного пласти здійснюється за допомогою довгих свердловин, що буряться попереду вибою у пласт. Герметизацію свердловин здійснюють цементно-пісканим або полімерними сумішами. Для підвищення ефективності зволоження застосовують додатки поверхностноактивних речовин (ПАВ). У якості ПАВ прийнято: ДБ - 0,2 - 0,4% та Типал -0,1 - 0,5%. Діаметр свердловини приймається 80 - 110 мм, довжина 50 - 60 м. Глибина герметизації - не менш 10 м. Відстань між свердловинами розраховується за формулою:

$$\ell = 1,8 R, \text{ м} \quad (3.9)$$

де  $R$  – радіус зволоження, який визначається експериментально.  
Тиск нагнітання визначається з умови

$$P \geq 0,75\gamma H, \quad (3.10)$$

Зволоження вугільних пластів виконується з випередженням відносно вугільного забою або підготовчої виробки. Ширину зволоження визначають за формулою:

$$S = \ell + V, \quad (3.11)$$

де  $\ell$  – недоторканий запас зволоженні необхідний для зволоження ділянки на протязі 30 діб., м;

$V$  – швидкість посування вибою, м/міс.

### 3.7 Технологічні заходи, що знижують небезпеку по газодинамічних явищах при проведенні очисних і підготовчих виробок

- застосування стовповової системи розробки;
- застосування вузькоахватного вугільних комбайну 1К 103М з глибиною захоплення до 0,4 м;
- застосування технологічних перерв між циклами виймки вугілля в очисному вибої і циклами виймки в підготовчих виробках не менш 1 години;
- керування покрівлею в очисних вибоях – повне обвалення;
- прямолінійна форма очисного вибою;
- виймка гірської маси в підготовчих виробках – не більш одного кроку кріплення.

### 3.8 Обґрунтування вибору способу прогнозу викидання небезпечності вугільного пласти

Для встановлення небезпечних і безпечних по викидах зон по довжині лави застосовувати поточний прогноз викидання небезпеки по акустичній емісії (АЕ) гірського масиву (рис. 3.5) та по початковій швидкості газовиділення зі штурів (рис. 3.6).

Допускається сполучення цих методів прогнозу, при цьому прогноз по початковій швидкості газовиділення застосовується для уточнення наявності і границі небезпечних зон, установлених прогнозом по акустичній емісії гірського масиву.

З досвіду застосування сейсмоакустичний прогноз по акустичній емісії вугільного масиву застосовувати у всіх очисних вибоях по всій довжині лави, крім тупикових ніш. У підготовчих вибоях даний прогноз не застосовувати.

При розрахунку прогнозу визначають середньоарифметичне значення активності на опорному інтервалі усереднення, що зрушується кожну добу. Для очисного вибою  $t = 30$  годин. Критичні значення параметра прогнозу:  $t = 1$  година,  $W$  роботи вугілля,  $T = 24$  години; критерій "двох крапок" – зростання середньої і двох наступних інтервалів усереднення:

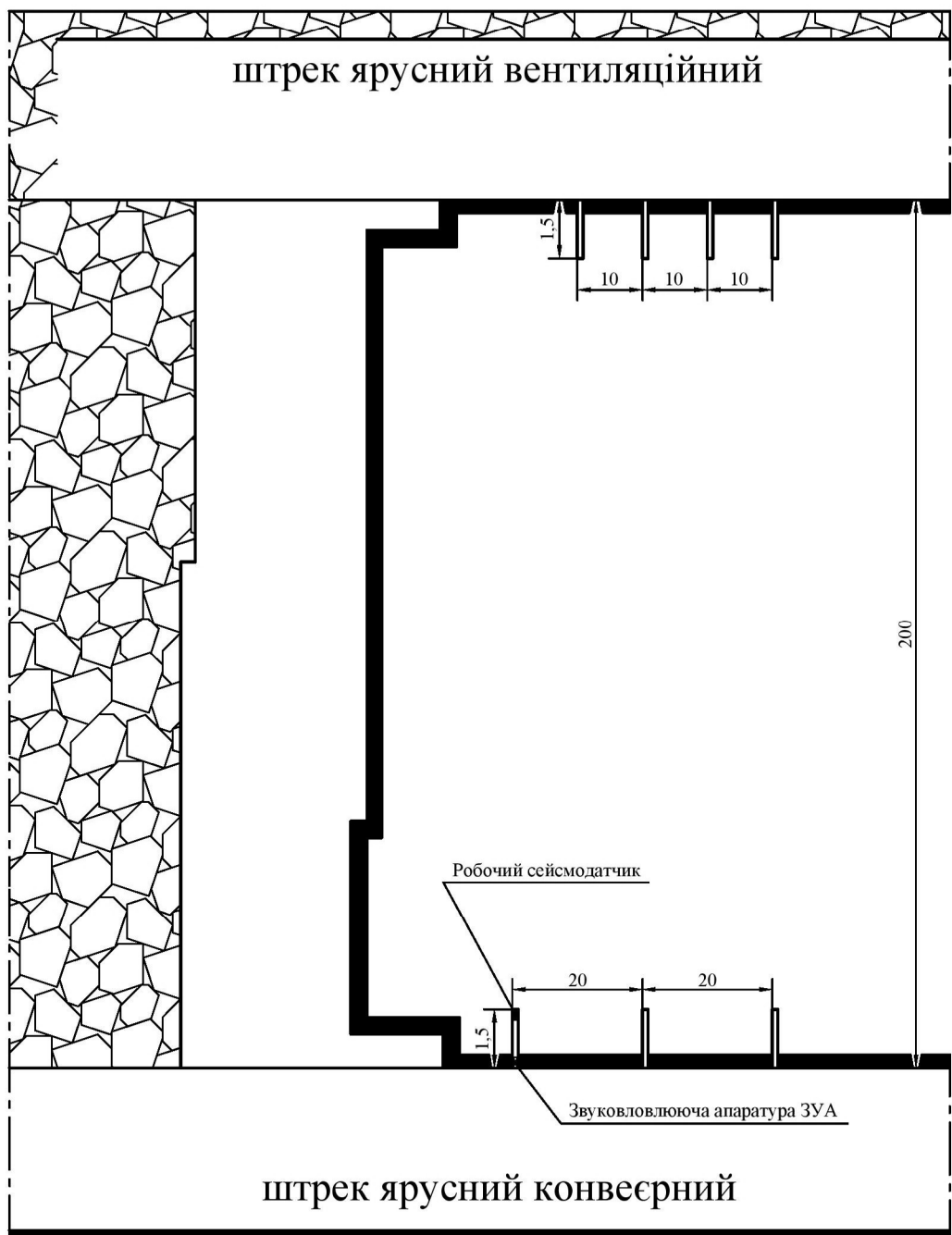
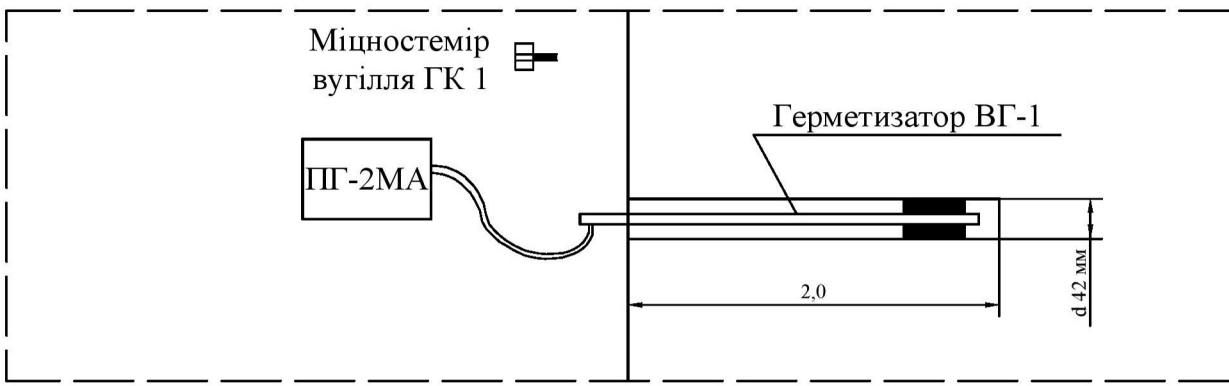


Рисунок 3.5 - Сейсмопрогноз в очисному вибої  
(поточний прогноз викиданебезпечності)



ПРОГНОЗ "НЕБЕЗПЕЧНО" ПРИ ШВИДКОСТІ >4 л/хв

### ПАРАМЕТРИ ПРОГНОЗУ ПО НАЧАЛЬНІЙ ШВИДКОСТІ ГАЗОВИДІЛЕННЯ ЗІ ШПУРІВ

НАЙМЕНУВАННЯ	ОДИНИЦЯ ВИМІРУ	КІЛЬКІСТЬ
Кількість шпурів одного цикловиміру	шт	2
Період цикловиміру від посування вибою	м	через 2
Довжина шпурів	м	2,0
Діаметр шпурів	мм	42
Глибина шпурів при замірі швидкості газовиділення	м	1,5; 2,5; 3,5
Довжина вимірювальної камери	м	0,5
Час на замір швидкості газовиділення одного інтервалу	хв	не більше 2

### НЕОБХІДНЕ ОБЛАДНАННЯ

НАЙМЕНУВАННЯ	ОДИНИЦЯ ВИМІРУ	КІЛЬКІСТЬ
Свердло електричне СР-3	шт	1
Бурові штанги (вита сталь)	шт	5
Газозатвор ЗГ-1	шт	1
Витратомір ПГ-2МА	шт	1
Міцностемір вугілля ГК 1	шт	1

Рисунок 3.6 - Поточний прогноз викиданебезпечності по начальній швидкості газовиділення зі шпурів

при  $N_{r+1}$  10 имп/година, g 10%;  
 при  $N_{r+1}$  10 имп/година, g 5%;  
 критерій критичного перевищення.

- При  $N_{30}$  2-3,5 имп/година  $P=4,5$ ;  $N_{kp}=P^* N_{30}$  имп/година;
- При  $N_{30}$  3,5 имп/година  $P=4,0$ ;  $H_{kp}=P^* N_{30}$  имп/година;
- $c = 2$  имп/година;  $L_3=6$  м.

Прогноз дійсний при роботі з технології для нормальних умов.

При введенні в роботу очисного вибою до одержання першого прогнозу роботи вести після виконання поточного прогнозу викидонебезпеки по початковій швидкості газовиділення чи визначення величини зони розвантаження по початковій швидкості газовиділення.

Для зміни в режимі технологічного впливу на пласт відповідно до результатів контролю і акустичної емісії гірського масиву звукоуловлюючої апаратури (ЗУА) здійснюється оперативне керування інтенсивністю технологічних процесів.

Границно припустимі значення активності - зупинка вибою ( $N_{stop}$ ) визначається по формулі:  $N_{stop} = K^* N_{kp, \text{година}}$ .

### 3.9 Диференціація аномальних зон із причин їхнього виникнення

У періоди підвищених аномальних значень АЕ, визначених згідно п.п. 81-8411 "Інструкції з безпечного ведення робіт на пластиах, схильних до раптових викидів вугілля, породи і газу" [25] розраховуються коефіцієнти  $K$  і  $K_1$ , що дозволяють диференціювати потенційно небезпечні зони з причин їхнього виникнення й уточнювати прогноз небезпеки по очікуваному динамічному явищу.

При прогнозі небезпечної зони за критерієм "Критичного перевищення" розраховується коефіцієнт  $K$ , при прогнозі небезпечної зони за критерієм "Двох крапок" розраховується коефіцієнт  $K_1$ , починаючи з дати одержання першої крапки підвищення математичного чекання.

Коефіцієнти  $K$  і  $K_1$  розраховуються по формулах:

$$K = \frac{N_{cyt}^0}{N_{cyt}^0 + N_{cyt}^b}, \quad (3.12)$$

де  $N_{cyt}^b$ ,  $N_{cyt}^0$  – активність АЕ, зафікована протягом доби при виїмці вугілля і при його відсутності.

Якщо  $K > 40\%$ , то зона вважається викидонебезпечною і повинні застосовуватися противикидонебезпечні заходи (ситуація  $Bip.W_{bb}$ ), якщо  $K < 40\%$ , то в небезпечній зоні можливе обвалення порід покрівлі (ситуація  $W_{ok}$ ) і заходи повинні бути спрямовані на їхнє запобігання.

Диференціацію аномальних зон відповідно до "Керівництва..." погоджено Донецьким територіальним керуванням Госнадзорохрантруда.

Поточний прогноз викидонебезпектості по початковій швидкості газовиділення застосовують в очисних вибоях по всій довжині лави (крім тупикових

ніш), у випадку неможливості застосування сейсмоакустичного прогнозу, а також з метою уточнення наявності і границь небезпечних зон по довжині лави, установлених сейсмоакустичним прогнозом. У підготовчих виробках, проведених по вугільному масиві поточний прогноз не проводиться.

За даними розвідницьких спостережень, якщо  $Y_f = 20\%$ ,  $Y_m = 10\%$ ,  $f = 0,8$  у.е., а  $Q_{n(\max)}$  менш критичного значення початкової швидкості газовиделення ( $q_{n,kp.}$ ), то вибій виробки знаходиться в безпечній зоні й у даному випадку вводиться поточний прогноз по початковій швидкості газовиділення. По даним вимірюванням початкової швидкості газовиділення ( $q_{n,kp.}$ ) зона вважається безпечною, якщо  $q^0_k < 4 \text{ л/хв}$  при виході летучих речовин ( $Y_{dof}$ ) від 20 до 30%. У небезпечних зонах застосовувати гідророзпушування вугільного пласти і контроль його ефективності.

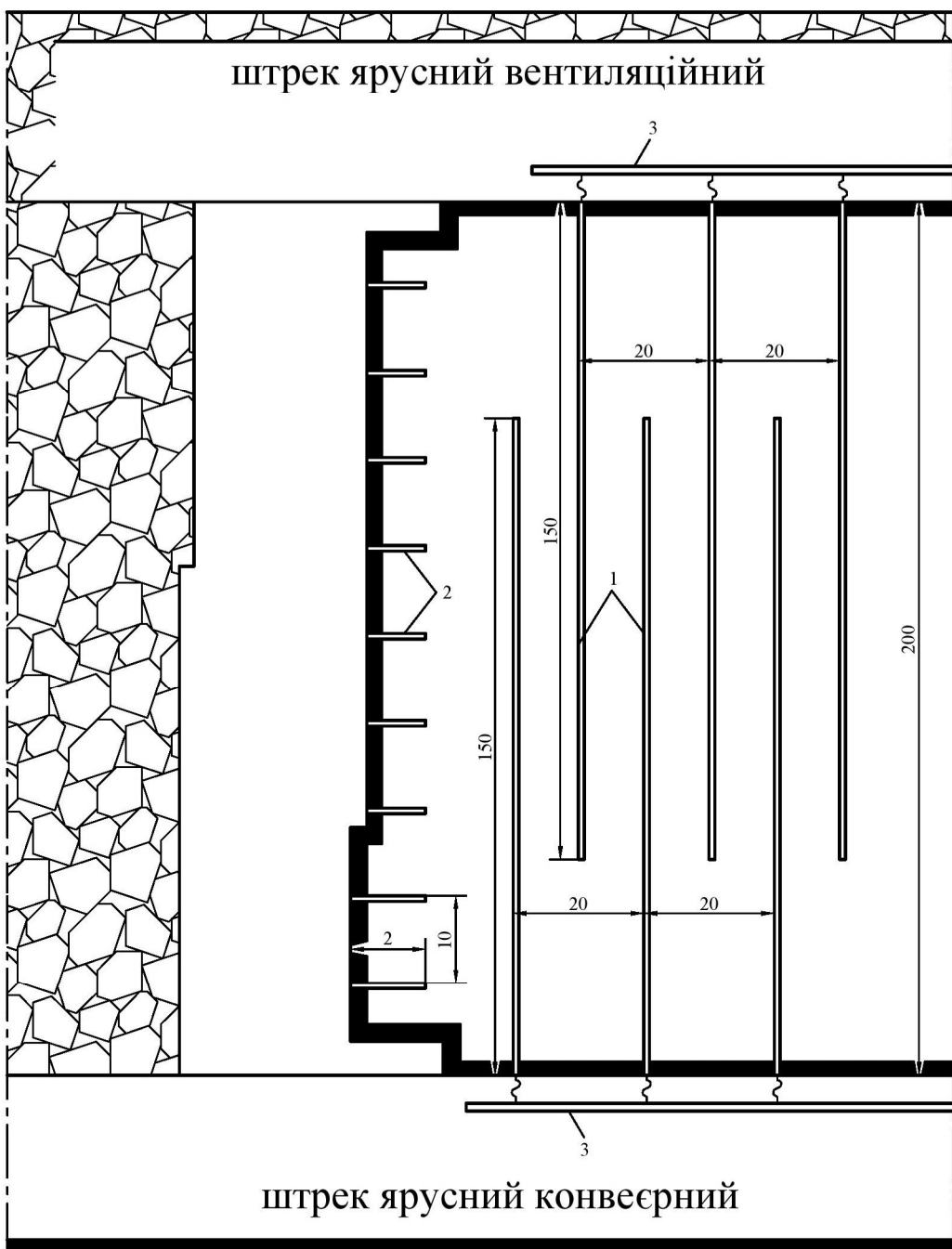
При проведенні поточного прогнозу по початковій швидкості газовиділення застосовувати комплект приладів, що складає з міцностевимірювача ПК-1, газового затвору ЗГ-1 чи ПГШ і швидкостевимірювача ПГ-2МА. Кількість приладів ПГ-2МА мається з обліком 25 % резерву від кількості вибоїв, що обслуговуються. Для ведення сейсмоакустичного прогнозу використовувати звукоуловлюючу апаратуру ЗУА, кількість комплектів мати з обліком 25 % резерву від кількості трактів, що обслуговуються, (2 тракти на очисної вибій). Для виконання гідророзпушування застосовувати насосні установки типу УНТ. Допускається застосування інших помпових установок, що забезпечують необхідну продуктивність і тиск води, що нагнітається. Для герметизації свердловин застосовувати гнучкі герметизатори шлангового типу довжиною не менш 2,5 м.

### **3.10 Обґрунтування вибору локального способу запобігання газодинамічних явищ**

Як локальний спосіб запобігання газодинамічних явищ у небезпечних зонах, виявлених поточним прогнозом, у тупикових нішах, у підготовчих виробках, проведених по вугільному масиву і на ділянках, небезпечних по гірничих ударах, застосовувати гідророзпушування вугільного пласти. Можливість застосування гідророзпушування забезпечується бурінням і герметизацією свердловин на задану глибину, надходженням води в вугільний пласт (рис. 3.7).

Контроль ефективності гідророзпушування здійснювати по динаміці газовиділення зі шпурів. Контроль ефективності гідророзпушування в небезпечних по гірничих ударах зонах здійснювати таким же методом як і при прогнозі ступеня ударонебезпеки - по виходу бурового дріб'язку.

Для виконання способу використовувати високонапірні установки типу УНГ, герметизацію свердловин здійснювати гнучкими герметизаторами шлангового типу. Контроль ефективності гідророзпушування здійснювати за допомогою газового затвора ЗГ-1 і приладу ПГ-2МА. У випадку неможливості виконання способів запобігання ГДЯ в тупикових нішах, небезпечних зонах, виявлених поточним прогнозом і в зонах геологічних порушень активних по раптових викидах робити підривні роботи в режимі струсного висадження.



- 1 - дегазаційні свердловини
- 2 - шпури для нагнітання води у режимі зволоження
- 3 - дегазаційний трубопровід

Рисунок 3.7 - Противікідні заходи в небезпечній зоні:

- 1) дегазація пласта через свердловини, пробурені з підготовчих виробок
- 2) зволоження пласта через шпури, пробурені з очисного вибою

## ВИСНОВКИ

У дипломному проекті описана геологічна будова шахтного поля, розраховані запаси вугілля, визначені виробнича потужність і режим роботи шахти. Вирішенні питання розкриття і підготовки пластів, вибору системи розробки, а також механізації очисних і підготовчих робіт. В якості способа підготовки приймаємо панельну підготовку, в якості системи розробки застосовуємо стовпову систему розробки лава-ярус з повторним використанням транспортної виробки у якості вентиляційної та прямоточним провітрюванням. Для механізації очисних робіт прийнятий комплекс МДМ з комбайном 1К 103М з добовим навантаженням 560 т. Розроблений паспорт виймальної ділянки по пласту  $\ell_6$ . Для механізації проведення виробок прийнятий комбайн КСП-33. Зроблені розрахунки параметрів провітрювання дільниці та дільничного транспорту.

В спеціальній частині вирішенні питання, пов'язані з удосконаленням очисних робіт по пл.  $\ell_6$ , небезпечному за раптовими викидами вугілля та газу.

Результати виконаної роботи рекомендуються до використання технічним, технологічним і економічним службам шахт при розробці програми розвитку гірничих робіт та складанні бізнес-планів.

## ПЕРЕЛІК ПОСИЛАНЬ

1. Правила безпеки у вугільних шахтах. Нормативно-правовий акт з охорони праці. – К.: 2012. – 398 с.
2. Украинская техника для угольных шахт: Каталог. / В.В. Косарев, Н.И. Стадник, С.С. Гребенкин и др.: Под общей редакцией В.В. Косарева. – Донецк: Астро, 2008. – 321 с.
3. Задачник по підземній розробці вугільних родовищ. Навчальний посібник для вищих навчальних закладів. К.Ф. Сапицький, В.П. Прокоф'єв, І.Ф. Ярембаш та ін. Донецьк: РВА Донату, 1999. – 194 с.
4. Правила технической эксплуатации шахт. М.: Недра, 1985. – 400 с.
5. Нормы технического проектирования для угольных шахт, разрезов и обогатительных фабрик. М.: Недра, 1981. – 60 с.
6. Бурчаков А.С. Технология подземной разработки месторождений полезных ископаемых. Учебник для вузов. М.: Недра, 1983. – 487 с.
7. Клишин Н.К. Методические указания к практическим занятиям по курсу УСМГП. Алчевск: ДГМИ, 1995. – 168 с.
8. Управление кровлей и крепление очистных забоев с индивидуальной крепью. Е.П. Мухин, Е.П. Захаров, Е.Д. Дубов и др. К.: Техника, 1994. – 190 с.
9. Технологические схемы монтажа и демонтажа механизированных комплексов КМ 103М, КМК 97М, КД 80, КМ 137, КМТ, КМ 138. Луганск, 1991.
10. Єдині норми виробітку на очисні роботи для вугільних шахт. К., 2006 – 352 с.
11. Единые нормативы численности повременно оплачиваемых рабочих для шахт Донецкого и Львовско-Волынского угольных бассейнов. М.: Минуглепром СССР, 1998. – 136 с.
12. Вяльцев М.М. Технология строительства горных предприятий в примерах и задачах. Учебное пособие для вузов. М.: Недра, 1989. – 240 с.
13. Бокий Б.В., Зимина Е.А., Смирнянов В.В. Технология и комплексная механизация проведения горных выработок. М.: Недра, 1972. – 336 с.
14. Технологические схемы разработки пластов на угольных шахтах. М.: Недра, 1991. – 250 с.
15. Унифицированные типовые сечения горных выработок. Т. 1 Сечения выработок, закреплённых металлической арочной крепью из взаимозаменяемого шахтного профиля, при откатке грузов в вагонетках ёмкостью 1-4 м<sup>3</sup>. К.: Будівельник, 1971. – 415 с.
16. Инструкция по выбору рамных податливых крепей горных выработок / НИИ горной геомеханики и маркшейдерского дела ВНИМИ. – 2-е изд., перераб. и доп. – СПб., 1991. – 123 с.
17. Єдині норми виробітку на гірничопідготовчі роботи для вугільних шахт. К., 2004 – 302 с.
18. Методические указания к выполнению индивидуальных заданий на практических занятиях по разделу "Комбайновая выемка горных пород" курса "Процессы горнопроходческих работ" (для студентов специальности 5.090304.01) / Сост. Г.В.Бабиук, Б.И.Куленич.- Алчевск, ДГМИ, 1995. – 40 с. (№ 117).

19. Кузьменко В.И. Горные транспортные машины в примерах и задачах. Учебное пособие. Луганск: Лугань, 1997. – 208 с.
20. Руководство по проектированию вентиляции угольных шахт. С.В. Янко, С.П. Ткачук, Л.Ф. Баженова и др. К.: Основа, 1994.-312с.
21. Пигида Г.Л., Будзило Е.А., Горбунов М.И. Аэродинамические расчеты по рудничной аэрологии в примерах и задачах: Учебное пособие. К.: УМК ВО, 1992. – 400 с.
22. Давиденко В.А. Основы экологии: Учебное пособие. – Алчевск: ДГМИ, 2002. – 207 с.
23. Шоботов В.М. Цивільна оборона. Навчальний посібник. – К.: Центр навчальної літератури, 2004. – 438 с.
24. Петухов И.М., Линьков А.М. Механика горных ударов и выбросов. М.: Недра, 1983. – 280 с.
25. Инструкция по безопасному ведению горных работ на пластах, опасных по внезапным выбросам угля, породы и газа. М.: ИГД им. Скочинского. – 1989. – 192 с.
26. В.И. Николин, А.Г. Заболотный, С.Г. Лунев. Современные представления природы выбросоопасности и механизма выбросов как научная основа безопасности труда. Донецк: ДонГТУ, 1999. – 96 с.
27. Правила ведення гірничих робіт на пластах, схильних до газодинамічних явищ. СОУ. 10.1.00174088.011-2005. Мінвуглепром України. К.: 2005. – 224 с.
28. Дегазация угольных шахт. Требования к способам и схемы дегазации . СОУ 10.1.00174088.001-2004. Минтопэнерго Украины. К.: 2004. – 161 с.
29. Николин В.И., Васильчук М.П. Прогнозирование и устранение выбро- соопасности при разработке угольных месторождений. М.: ПолиМЕдия. 1997. – 495 с.